# 港灣報導

要目

测台中港第二階段發展計畫

%台灣北部新港規劃問題之探討

※「雲嘉海岸保育及開發研討會」内容簡介

%漫談中國大陸湄洲灣之開發

₩ The Leader in ICCP Systems

**%地下水整治方法**簡介

- 現場微生物處理之推展與設計

%港灣防蝕(Ⅲ)

**》**以震測錐試驗評估土壤液化潛能

※「海岸工程短期研習會(問題與對策)」簡介

中華民國八十二年四月出版

# 台灣省政府交通處港灣技術研究所

# 目 錄

~ `	台中港第二階段發展計畫	1
	台中港務局局長 江龍	
= ;	台灣北部新港規劃問題之探討	<b> 4</b> ,
	海洋大學河工系 黄文吉	
Ξ,	「雲嘉海岸保育及開發研討會」内容簡介	8
	港研所海工組組長 黄清和	
쯔 ~	漫談中國大陸湄洲灣之開發	12
	中華港埠設計部經理 林碩章	
五、	The Leader in ICCP Systems-	<b></b> 20
	Rahim K.M.A.& Ting Lee	
六、	地下水整治方法簡介	
	- 現場微生物處理之推展與設計	26
	美商Riedel環境顧問公司資深水文工程師 王奕森	
士、	港灣防蝕(III)	34
	匯茂實常股份有限公司 李定湘、李定字、王維寧	
<i>/</i> \ \	以震測錐試驗評估土壤液化潛能	37
	港研所副研究員 陳圭璋	
カ、	「海岸工程短期研習會(問題與對策)」簡介——	46
	港研所副研究員 曾哲治	

# 台中港第二階段發展計畫

# 江龍 台灣省交通處台中港務局局長

台中港係規建於台灣西海岸中央 , 大甲溪與大肚溪間沙灘上之人工港 , 距離北部之基隆港及高雄港航程各 約110浬。港區範圍北起大甲溪南岸, 南迄烏溪北岸,西臨台灣海峽,東以 臨港路及其延長線爲界。

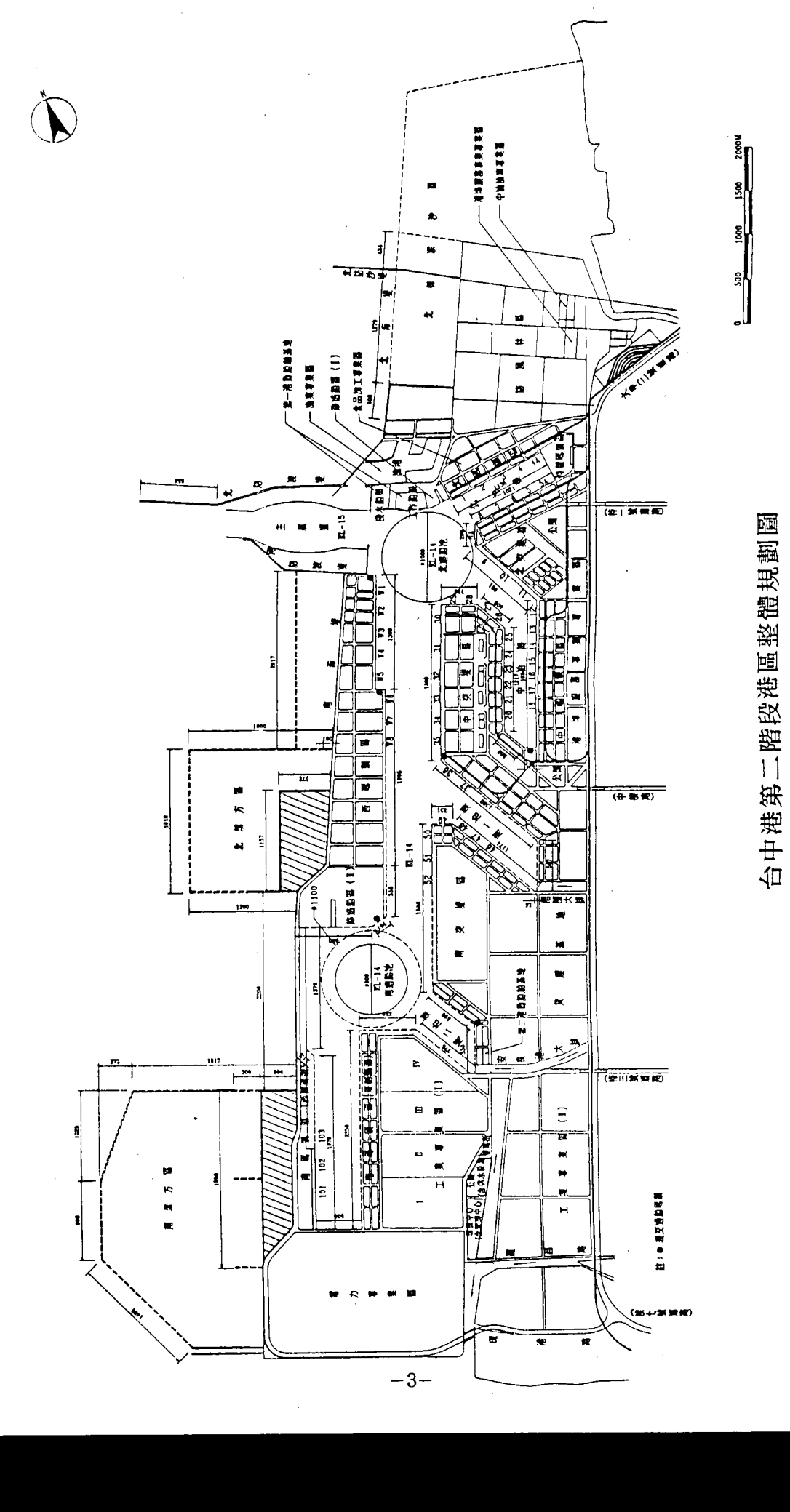
近年來由於營運量快速成長,民國七十六年已超過原第一階段建港年運量一千一百萬噸之目標,民國八十一年更高達三千四百餘萬噸,面對持加之多年來尚未推動之「工業專業區加之多年來尚未推動之「工業專業區」亦急需開發,爲此台中港務局遵照交通部指示配合未來船舶大型化、專業化趨勢,特別考量船舶操航及碇泊安全,並分析對環境之影響及工程經

濟性,重新評估完成「台中港第二階 段發展計畫」作爲未來擴建之多據。 茲將重要結論描述如后:

- 三、台中港為規建於冬季季節風強勁 、潮差大、漂沙活動劇烈地帶之 人工港,經驗告訴我們,港建得 愈大愈容易成功、維護費用也愈 低。因此台中港第二階段發展計

畫應妥善利用「沙」為資源向西 側海域增新生地,並積極尋找合 . 適之公民營廠商投資使用,除可 降低建港成本外,更能配合船舶 深水化潮流,將已往狹長港形逐 漸向深水發展,使外港自然形成 , 建港效益達到最大。

四、為落實政府環境保護政策,台中 港各項必要之環境保護基本設施 將於第二階段發展中逐步興建完 成。由於台中港區各項廢污水屬 性與上游台中港特定區不同,有 必要自行建立獨立之污水系統, 與社區污水分開,以提高處理效率、劃清污染權責,並符污染者 付費之精神。至於港區垃圾亦應 保留自行處理之彈性空 間。



# 台灣北部新港規劃問題之探討

# 黄文吉 國立台灣海洋大學河工系

近十年來,雖然有關單位花了不少的人力、經費與時間從事基隆新港、深水港及台灣北部港埠開發等計劃案之研究。然而,至今仍意見分峻,沒有定論。本文從三方面來加以分析、探討:(一)當前狀況形成的原因(二)本案應有的方向及作法(三)相關的配合措施。

- 一、當前狀況形成的原因一本案及相關計劃歷經多年的研究,至今撲 朔迷離,見解互異。其原因可歸 納為:
  - 1.問題界定不清:基隆新港計劃與 台灣地區深水港計劃,是兩個不 同目標功能的計劃不宜混爲一談 。基隆新港是台灣北部新港計劃 的一個解決方案;而深水港計劃 是屬於整個台灣地區爲考量範圍 的整體規劃案。其目的是爲因應 大宗散貨船舶大型化而有的對策 。
  - 2.基隆港在台灣地區港埠整體運輸 系統之定位不明確: 基隆港在國 際港及國内港運輸系統所扮演之 角色與份量。 至今沒有明確的定 位。 以致於它的功能與重要性無 從顧示週知。
  - 3. 過去十年來的多項研究計劃,由

於狀況不同、時間的差異及委託 單位不同且目的互異。加上考慮 的港埠貨物運輸需求亦不同, 形 成港埠設施之内容與規模互異。 復因計算效益分析之各項基準有 別。以致於無法從過去之研究報 告,分析獲得結論(包括:基隆 新港案乃至於淡水國際港案), 據以斷言那一方案爲最佳案。

- 4.研究計劃之系統程序及研究重點 ,頗有值得爭議之處:可行性研 究及規劃案,似乎缺乏對運輸系 統規劃及經濟效益分析(包括内 部效益及外部效益)作深入的探 討。尤其,效益分析爲方案評估 的重要指標。如果界定不清或考 應得不周嚴,影響決策分析至鉅 。
- 二、本案應有的方向及作法—有關本 案今後之發展其方向與作法,謹 提出淺見供參考。
  - 1.建立制度化之決策程序及明確的 幕僚機構(研究單位)。
  - 2.以台灣北部區域計劃涵蓋縣市爲研究(腹地)範圍。
  - 3.基隆港港埠運輸系統問題癥結之 探討: 宜從臺灣地區港埠整體規 劃著手,系統化地分析基隆港當

前港埠運輸之癥結點爲何? 其影響程序如何? 各影響因子間之相 互關係又如何? 如此才能對症才 藥。不致於步上一般的頭痛醫頭 腳痛醫腳的直覺(主觀) 判斷。 而其問題癥結應朝以下之思考方 向:

- ①深入研究貨櫃南北運輸問題之 成因及後果,該現象對港埠運 量之需求及港埠最適規模之影 響。
- ②徹底研究臺灣北部港埠運輸需 求量。
- ③臺灣地區各港各類碼頭之適正 規模,因投資建設及營運制度 而被歪曲之現況下國家社會的 損失。
- ④基隆港先天地理環境不良(水域不寬關、水深不夠、港區後線土地不足、多山…)是事實,但其影響程序如何?有無替代方案(香港能基隆港不能)?多少代價的方案值得投資?均宜詳加分析研究。
- ⑤了解增加適量的裝卸及搬運機 具、出租專用、改善經營管理 績效對港埠作業系統之影響。
- ⑥港區現有土地整編與妥善利用 之探討。
- 4.港埠運輸需求分析(需求面)應 包括什貨(含貨櫃)、砂石、水 泥、煤、油品、液化天然氣及穀 類等。尤其,由於港埠競爭等因 素而形成之貨櫃南北運輸問題, 應分析其成因,衡量影響之層面 與程度,並速謀對策。

- 5.港埠容量分析(供給面) 應朝著 硬體及軟體改善, 可能的最大容 量來分析。 硬體改善包括:機具 之汰舊與增購、 碼頭之改建與增 建(正濱漁港、軍用碼頭、東岸 第三突堤等)、聯外運輸系統、 **貨櫃集散站之闢建。 軟體改善包** 括作業效率之提高、 優先指泊制 度之改良、碼頭出租專用、自動 化管理系統、 企業化與民營化之 導入等。此外, \*港埠的再開發 " 爲近年來國外成功的經驗,值 得借鏡。 其意義爲: 將已喪失機 能的舊港區, 重新定位新的機能 , 並給予整體開發利用, 對港埠 運輸及鄰近地區帶來新的氣象。
- 6.上述,各種改善及擴建案在目標 年如無法滿足運輸需求時,則應 考慮另闢新港。闢建新港時應 意:基隆港新的機能定位問題 意:基隆港新的機能定位問題 工業港之綜合港或是商港與 工業分開或其他方案…等); 尤 新港開發對基隆地區產業發展之 社會與經濟上的負面衝擊應深入 探討。
- 7系統規劃程序上,建議循序漸進 地研究:基隆港定位及整體開發 規劃→台灣北部新港可行性研究 (著重經濟效益分析)→港埠研究 輸需求分析(起訖點、產業關連 、長期趨勢)→港址選擇→多日 標決策分析、其中,可行性研究 應包括:經濟可行性、技術可行 性、運作可行性及安全可行性等

四個層面加以分析。

- 8.財務預算及運作可行性之考量: 决策分析過程中, 效益(内部及 外部)分析占極大的比重,除此 之外。 財務能力的可行與否亦爲 一大限制。亦即:財務能力如有 300億、500億或1000億的限制時 , 則超出財務能力再好的計劃也 很難以執行(北部新港值得投資 金額約在500億~1000億間)。
- 三、相關的配合措施-建新港爲百年 大計,除了要審慎考量、詳細規 劃之外。有關單位之配合措施更 是重要,否則仍無法盡其順利與 完美,其内容包括一
  - 1.明確的港灣政策:港灣建設鼓勵 民間投資與否? (對象、範圍、 内容、所有權、公平性等):貫 徽地方自治的精神與否? (計劃 審議及建設屬中央, 營運管理屬 地方);港市合一體制(含營運 民營化制度)之建立。
  - 2.港灣相關法規之研擬: 國土計劃 法、公有水面掩埋法、海岸管理 法、工業港法、遊艇港法、海上 交通安全法丶 海洋污染防治法丶 國土綜合開發法、 地方自治法、 獎助民間投資條例等。
  - 3.港灣計劃審議制度之建立: 中央 及各港務局應遴選公正、 廉潔之 相關專家、學者組成 "港灣計劃 審議委員會"。前述相關學門應 包括:國土規劃、運輸系統規劃 、產業經濟、港埠規劃、港灣工

- 、社會學等領域之產、官、學三 方面人士组成。
- 4.如果政策上決定需要另闢北部新 港(港址之評選尚需詳加分析研 究)則:
  - ①北部新港與基隆港、蘇澳港在 臺灣地區整體港埠運輸系統之 功能定位。
  - ②北部新港爲包括商港、工業港 、能源港…等之單一綜合性國 際港或北部新港爲兩個以上港 口之意。
  - ③與基隆港有密切關連之就業人 口及相關產業其永續問題之解 决,以避免形成其他的社會問 題。
  - ④藉此北部新港之建設與營運來 **徹底實施自由化與民營化,建** 立現代化港埠模式之典範。
  - ⑤臺灣北部貨櫃集散站之闢建… 等,將是研究重點。
- 5.合乎現代化港埠經營管理體制之 建立: 就港埠經營管理各項目, 訂定時程表以確實推展自由化、 民營化及國際化 如此,方能真 正達到現代化的港埠開發。 而非 只是空有的目標或口號。 尤其重 要的是, 並非盲目的去實施自由 化、民營化與國際化。 而應視國 情、地方、時機與業務類別而有 不同程序的區別與階段步驟。

特別值得一提的是, "民營化" 爲的是達成建港目標, 並非終極目的 如何提高效率與效益,在現階段某 程、海岸工程、港埠經營與管理 些港(税)營運業務民營或許較公營 、都市及區域計劃、環境與景觀 爲宜。因此,引導民間力量投資港灣

是值得鼓勵的,這對國家及社會均有 正面的意義。尤其在港埠再開發及海 洋遊憩設施方面,國外均有極爲成功 的例于。我們或許還有兩岸貿易的 利多"存在。因此,結合民間產業力 量來開展並建設港埠,應有一套長期 且穩定成長的計劃(政策及法規)。 如此,才能對產業界及社會有最大的 效益與保障。附帶一提的是,北部新 港運輸需求分析時,海洋遊憩需求及 兩岸貿易(貨物種類、起訖點、數量 )是否應納入考量,值得有關單位深 思。

# 雲嘉海岸保育及開發研討會」内容簡介

## 黄清和 港研所海岸工程組組長

本所爲促進產、官、學、研與縣 府、鄉、鎮等單位承辦人員作有關「 雲嘉海岸保育及開發工作」 雙向溝通 , 曾在八十二年元月十五日在嘉義縣 政府四樓第七會議室舉辦該項研討會 , 會中共邀請學者、專家發表有關雲 嘉海岸保育及開發之研究成果, 分別 由國立成功大學台南水工試驗所所長 黄煌煇教授主講"雲林海域開發相關 調查研究"、工研院能資所研究員吳 啓南先生主講 "嘉南沿海沙洲岛的變 遷分析-利用多時衛星影像及航照" 、本所所長張金機先生主講 <sup>™</sup>外傘頂 洲侵蝕調查與雲嘉海岸開發研究" 以 及台灣省水利局總工程司黃金山先生 主講 "台灣西部海岸資源的經理及展 望"等,並擬藉此次研討座談會,進 一步瞭解地方需求, 俾擬定本所未來 研究方向, 按本次研討會報名參與人 數共63人,參與座談單位及人數如表 一所示, 採不收報名費並由本所提供 點心以及中午便當等, 整個會議於當 天下午3時30分圓滿結束, 謹將此次 研討座談會議討論内容及結論摘要敘 述如下:

#### 表一 研討會出席單位及人數統計表

出席單位	人數
交工行水嘉嘉雲中成聯榮宇台僑環中港通研政利義義林央大合工泰技龍海興研處院院局縣縣縣大台報處工工工工工工工工工工工工工工工工工工工工工工工工工工工工工工工工工工工工	1211132221121132216
共 計	63人

#### 一、僑龍工程顧問公司 蘇祺福

- 利用遙測照片計算沙洲面積,應 注意衛星通過時間,並修正潮差 引起之水位變化。
- 2.布袋灣之沙洲分佈可能受颱風浪 引起之迴流作用所致。
- 3. 遙測僅能觀測懸浮質濃度, 無法 計算漂沙底移質。
- 4. 實測港灣工程設計僅對颱風浪及 暴潮位有興趣,其它平時之波浪

觀測僅有參考價值。

5.希望各學、 研單位能針對澎湖水 溝較深水域進行波浪觀測。

#### 二、能資所 吳啓南

- 對遙測照相之水位變化有利用附近之驗潮站記錄加以校正。
- 2.外傘頂洲南端受侵蝕速度較北端 快之原因可能爲沙洲南端深入外 海受浪作用較大致。

#### 三、水利局

- 外傘頂洲冬季飛砂量大亦會影響 沙洲變化,遙測僅依定性之判斷 ,定量方面尚須現場測量作驗證
   ○
- 2.目前對外傘頂洲之觀測研究僅對 沙洲面海一側,似乎忽略了沙洲 向岸側對陸上海堤之安全影響。
- 3.是否有人爲之方法將沙洲之漂沙 方向移向陸測而不流失於深海中 。
- 4.布袋灣南、 北兩側沙洲各屬不同 之水源系統所形成。
- 5.民國七十年即曾考慮於外傘頂洲 進行定沙作業,但至今尚無成果 。若外傘頂洲被風浪侵蝕而形成 潛沙洲時,可能會危及沿岸堤安 全,應注意其發展,並考慮因應 對策。
- 6.沿岸沙洲之開發順序應由南往北 ,但目前限於政策及實際之困難 ,而必須由北往南開發,六輕建 廠完成後,必造成外傘頂洲之嚴 重侵蝕,各單位應如何因應必須 速謀對策。

- 7.建議雲林離島工業區開發同時, 應同時開發外傘頂洲。
- 8.整個海岸資源開發時,對於周邊環境之衝擊應計入成本,以免屆時無經費善後。
- 9.以水利局之立場對西海岸海堤完成後必須進行維護,對不同海岸環境應有不同之工法保護。利用養灘保護海岸不受侵蝕成本上應比目前採用之硬式海堤較爲划算。

#### 四、中興工程公司

利用遙測觀測漂沙時必須注意光 線在水中渗透深度對照片感光之影響 ,並由現場實測資料修正之。

#### 五、成大水工所

- 1.地方政府應責請工業局委託學、 研單位監測, 六輕建廠對下游雲 嘉海岸及沙洲之影響, 掌握實際 數據才能有效反應上級單位, 對 於海岸空間之利用應作整體之考 量。
- 2.所有海岸之開發皆應順應自然才 能事半功倍。
- 3.因海上波浪觀測非常困難, 曾使 用 SEA-DATA 測波儀觀測波向並 不成功, 彰濱海城目前僅有超音 波測波並無波向資料。 將來可能 利用波壓及二维流場推算波向。
- 4.去年因無颱風直接通過彰濱海域 ,因此沒有實測之颱風資料,僅 測得3.9米之湧浪。

#### 六、宇泰工程顧問工程公司

由於抽沙距離遠近,影響抽沙成本至鉅,政府相關單位對六輕建廠時 使用沙源之水深位置應予注意,以免 對沿海環境造成破壞。

#### 七、港灣技術研究所

- 據現場調查人員之觀測,外傘頂 洲上受東北季風引起之飛砂量非 常可觀,研究該區漂沙時亦應將 飛砂列入考慮。
- 2.外傘頂洲南端受颱風浪作用後形成沿岸沙洲,而東北季風無法將其回復,因此南端受侵蝕較北端快速。

#### 八、嘉義縣政府

- 2.此一海埔地之開發依照各學者、專家之研究,以濁水溪漂砂出海之流向由北南下,故開發順序應由南而北之,則地盡共利,倘由北端先行開發並闢建工業港,把防波堤向外海伸出十一公里長,達到水深負22公尺左右,則港口

- 南岸必受潮流沖刷, 在缺乏砂源 補充下, 外傘頂洲將逐漸被海浪 沖失, 此一天然屏障一旦不存在 , 那麼本縣東石、布袋與雲林縣 金潮一帶之安全即失去保障,而 此一地區又係地盤下陷嚴重地帶 ,每遇大潮日即有海水倒灌,如 遇風災水患其嚴重後果令人堪憂 (見書面資料第四章),如何妥 善加以穩住這一系列之砂洲爲我 們所應面對之重大問題, 又經費 等措及技術層面的克服等等必在 開發或建港定案之前先行妥加研 擬規劃一併列入開發計劃內立即 進行。 祈免浩劫落臨雲嘉沿海地 區。
- 4.我們認為最佳而可行之措施係外 傘頂洲區域海埔地無論從(1)區域 發展(2)環境影響(3)開發工程(4)開 發意願等四大項目加以評估(七 十八年間經濟部工業局曾委託中 與工程顧問社在選擇離島工業區 時評估)均列第一優先(詳見書 面資料四一二)如將外傘頂洲區 域與麥寮區開發同時進行,不但

可避免重覆投資保固此一系列砂 洲之施設, 亦可加速提供土地資 源對整個台灣之產業升級經濟發 展有肯定性之貢獻。

5. 檢附如何維護外傘頂系列砂洲以 增進雲嘉海岸之安全書面資料一 份。

#### 九、主席結論

- 1.利用遙測可以研判較長時間巨觀 海岸變化;對微觀沙洲面積變化 必須針對乾沙程度及其反射光譜 進行現場採用驗證及潮位校驗, 才有較正確結果。
- 2.台灣沿海20米水深以上之波浪觀

- 測目前由中央氣象局海象測報中 心負責,關於澎湖水溝較深水域 之波浪觀測可建議之設站觀測。
- 3.港灣技術研究所有關海象觀測資 料,得保留二年作研究後向外提 供,歡迎各界索取。
- 4.關於沙洲內潟湖及沿岸海堤之關係,目前為養蚵水域,水深調查極困難,據了解尚無人進行研究。
- 5.海岸開發固然重要,但是開發同時必須注意海岸之保育,台西離島式基礎工業區開發應同時加強外傘頂洲保育工作,建議將開發所帶來沖擊列入成本。

# 漫談中國大陸湄洲灣之開發

### 林碩章 中華港埠技術顧問社設計部經理

#### 一、前言

中國大陸湄洲灣之開發,是我國 近百年來志士仁人夢寐以求的建設壯 舉。早在本世紀初,偉大的革命先行 者孫中山先生就在所著建國方略中, 將它置於全國大港之列,安排爲重大 開發對象。進入八十年代,中國大陸 正式將湄洲灣港列入開展前期工作的 重點項目,完成了湄洲灣區域國土綜 合規劃。從此,湄洲灣進入了一個統 籌協調,逐步開發的新時期。

爲此, 福建省及莆田市各級政府

曾集中了各方人士之見,按照新情况 新要求,編製了新的湄洲灣或莆田市 城市整體規劃,包括湄洲島、忠門。 媽嶼和紅埔四個分區的長遠發展計畫 。供海內外有志研究或有意投資開發 湄洲灣的人士,筆者曾數次前往湄洲 有關人士研討,包括參與整體規劃的 小組成員,以及目前正致力於該地區 程資開發之財團之顧問人員。 俾利於 群策群力,對開發湄洲灣這一事業提 供技術專業上之建議。

### 二、開發湄洲灣的由來

湄洲灣區域包括莆田市和泉州市 的惠安縣,總面積 4700 平方公里(如 附圖)。根據岸線地帶的多用性和陸 域條件等特點,將湄洲灣劃爲秀嶼、 東吳、肖厝三個開發區;根據自然地 理和行政區劃,又分爲南岸和北岸。 肖厝開發區處于南岸,屬於泉州市惠 安縣;北岸在莆田市境內,包括秀嶼 、東吳兩個開發區及湄洲島旅遊經濟 區。

湄洲灣六世紀中葉已有海運,十 一世紀秀嶼就相當繁榮,由於歷史條 件和地理環境等種種原因,秀嶼碼頭

建設曾幾度興廢。 中國大陸的十一屆 三中全會以來, 福建經濟得到迅速發 展,省委、省政府將湄洲灣開發建設 提到議事日程。1982年以來福建省政 府先後邀溠和組織省内外20多個有關 部門、高等院校、科研單位的專家、 學者和工程技術人員對湄洲灣進行科 學考察、論證,一致認爲:湄洲灣是 一個得天獨厚的天然良港, 是國内少 有的尚未開發的大型深水港口。 爲保 護湄洲灣深水良港資源, 做好今後合 理開發利用的準備, 國家計委於 1983 年批准將湄洲灣列入全國重點項目的 前期工作和全國第一批國土規劃的試 點之一;交通部規劃將它建設爲全國 四大國際深水港之一。 在中國大陸中 央、國務院的關懷和支持下,在各有 關部門的努力下, 湄洲灣已從規劃階 段轉入關發階段,從而揭開了開發序 暮。

# 三、開發湄洲灣的有利條件

#### (-)優越的地理位置

湄洲灣在臺灣海峽西側,與臺灣隔海相望,面向東南亞,與大洋洲、美洲的海上聯係非常便利,又處于中國南方航線中點,北上福州馬尾港132海里,至上海510海里;南下廈門96海里,至香港397海里,至湛江港600海里;東達基隆港178海里,至高雄194海里,至臺中港僅72海里。湄洲灣是中國沿海對外開放地帶及對臺往來的交通中樞,適合建設南北物資集散地和國際貨物中轉港。

#### 二難得的深水岸線

湄洲灣港關、水深、岸線長。10 ~20 m自然深水岸長21.4公里, 遠期 在秀嶼以東的石門澳修建挖入式港池 ,則增加深水岸線十餘公里, 可供建 萬噸級以上碼頭的深水岸線總長達30 多公里。航道水深一般都在15米以上 ,航道和錨地寬度一般都在一公里以 上, 這對船舶迴船, 航行, 錨泊和接 駁作業都很有利。

#### **三具有天然的防護條件**

湄洲灣屬於半封閉形海灣, 三面 山丘環抱,灣口向東南敞開,整個灣 内似三級葫蘆、湄洲島、大竹島、盤 嶼、羅嶼、橫嶼等諸島嶼形成三道自 然屏障, 而且常風向和強風向爲東北 内的岸線得到層層掩護, 是一個不可 得的天然避風港。

#### 四巨大的納潮量

湄洲灣灣口到灣裡約33公里,高 潮位最大海域面積516平方公里,平均 506 平方公里, 低潮位以下面積為 373 平方公里,占高潮位時面積的72%, 低潮位以上的潮間帶面積 142 平方公 里,占高潮位時海域面積的28%,平 均納潮量達24.23億3. 0 巨大的納潮量 可加速污染物的遷移、擴散、自淨以 及穩定港灣的水深。

#### **田不凍不於的港灣**

湄洲灣氣候溫和, 平均氣溫爲 19.9℃,歷年極端最高氣溫37.9℃,極 端最低氣溫0.7℃,霜罕見,更無冰凍

湄洲灣内無大河注入, 陸地漂砂 量少,一般情况下海水含砂量僅有 0.012~0.02公斤/米15,並且灣内低 層流速在 0.45 米/秒以上, 通常落潮 速度又大于漲潮速度, 有較強的沖刷 力,因此不易產生淤積。據1955年和 1984 年的海圖比較表明, 湄洲灣不但 沒有發生淤積, 個別地方尚出現深槽 現象,是個難得的不凍不淤的港灣。

#### 公有大片土地可供工業開發

湄洲灣兩岸多爲丘陵和紅土臺地 , 土壤貧瘠, 而且大片土地尚處於荒 蕪狀態,人文簡單,可供城市、工業 開發利用的土地有 174 平方公里, 沿 岸後方尚有較大面積土地可供開發, 是發展港口及臨海工業的理想用地。

#### (世著名僑郷・海外聯繫密切

福建是我國重點僑鄉, 僑居海外 華僑華人達 740 多萬人, 莆田市港澳 同胞和海外僑胞近40萬人,他們向有 爱國爱鄉優良傳統, 熱誠盼望家鄉繁 荣富強, 願爲家鄉建設盡自己最大努 . 發計書及主要内容:

カ。

#### (八勞動力資源充裕

湄洲灣區域人口密度每平方公里 超過 700 人, 爲全省平均數的三倍多 , 勞動力資源充足, 素質較高。莆田 市高、初中文化水平的剩餘勞力數以 萬計,而且勤勞、儉樸,勞力費用較 低。每年還有2000多人上大、中專及 大學深造, 這些都是開發湄洲灣的生 力軍。

#### **加旅遊資源豐富**

湄洲灣區域有風景綺麗的旅遊網 點和許多美麗動人的傳說,有著名的 媽祖廟,廣化寺等名勝古蹟,還有九 鯉湖、麥斜岩、風動石等天然湖泊和 壯麗景觀, 這些都是理想的旅遊勝地

#### (+)中國大陸中央賦予優惠的開發政策

湄洲灣位於福建沿海經濟開發區 中國大陸對湄洲灣開發給予更優惠 政策,實行沿海經濟、技術開發區和 某些經濟特區的政策,爲外國企業家 和臺灣同胞、 港澳同胞及海外僑胞提 供優惠的合作條件和日趨完善的投資 環境の

# 四、中國大陸湄洲灣綜合開發 簡介

根據湄洲灣區城國土規劃論証, 沿湄洲灣兩岸(秀嶼、肖厝、吳三片) 約 400 平方公里範圍內, 將開發成為 福建省深水大港和重工業城市, 其開

#### ─)湄洲灣綜合開發方向和基本權想

#### 1.城市

沿湄洲灣兩岸規畫開發為港口城市,福建省大型深水港和重工業基地,湄洲灣區域的經濟中心。湄洲港城分三區:

秀嶼區:爲城市行政管理、港口運輸、商業貿易、文化科技和輕工業中心。其布局以港口爲端部、工業、居住區呈帶狀發展,遠期呈"層式"或組合式"混合結構。

肖厝區:以石油化工業、海洋化工業為主的工業基地,北部石化區以港口爲端部,工業區和居住區呈條帶狀向南發展,南部形成海洋石化工業等區。

東吳區:以能源、鋼鐵、船舶修 造等為基礎的工業城鎮和國際中港口 ,工業采用"組團式"結构,生活居住 集中布局。

城市人口規模:近期(到九〇年) 爲5萬人,其中秀嶼區2萬人,肖厝區 3萬人;中期(到二〇〇〇年)爲22萬人 ,其中秀嶼區5萬人~7萬人,肖厝區 10萬人,東吳4~6萬人;遠景控制在 40~50萬人,其中秀嶼15萬人,肖厝 15~20萬人,東吳10萬人。

#### 2. 港口

#### (1)港口性質

根據湄洲灣的港灣特徵和客觀需要,湄洲灣擬開發建設爲內貿與外貿,散雜貨與貨櫃,專業化與綜合性相結合的對外開放的工商業綜合性大港。

#### (2)岸線分配與口布局

- A.秀嶼商港區:這裡深水岸線 這裡條件好的 與所集中,是漏網 3000 噸 與明期 1000 噸 明明 1000 平 新聞 1000 平 新
- B. 肖厝港區:有較長的深水岸線,寬坦縱深的陸域,受東北主要風向的影響也較大,規劃作爲石油化工基地,現正在建設萬噸雜貨碼頭。港口採用工商兼顧。

蝦嶼~白石礁~嶼仔段:岸 線長2.7公里,以商港爲主, 在嶼仔附近避一港池,布置 小輪、木帆船、工作和輪渡 碼頭等。

鯉魚尾段:岸線長2.5公里, 離商港區較遠,作爲石油專 用碼,油碼頭集中一端建設 ,另一端作爲後備發展或另 作他用。

斗尾段:水深,岸線長,風浪大,離城遠,規劃作為未 來南海與東海石油勘探基地 和儲油、中轉港口。

C.東吳區:深水岸線長7~9公 里,作爲拆修造船基地在其 南部建設國際性中轉港口。 (3)港口規模

初步估計,近期(到1995年), 總吞吐能力約為740萬噸,其中商港約180萬噸;中期(到二〇〇年), 隨著泉湄鐵路的建成通車,全港吞 吐能力可達1200萬吨,其中商港約360 萬噸。 遠景總吞吐能力可達 4000 ~ 5000萬噸。

#### 3.工業

湄洲灣的自然資源條件極適合發展石化、電力、鋼鐵、建材、修造船等五大支柱工業,並以此爲突破點來帶動港口和地方工業的發展。

#### (1)工業布局

- A. 肖曆~山腰重化工區:本區 陸城寬關平坦,東側有鯉魚 尾深水區,適宜發展重化工 業(包括鹽鹼化工),逐步 建設石油化工和海洋化工基 地。
- B.秀嶼工業區:在秀嶼半島南側,主要發展輕工、食品、服裝、電子、建材、機械等無污染或少污染的輕型工業和以外質出口爲主的加工工業。
- C.東吳工業區:有良好港口條件,位置相對獨立,適宜發展大型工業,規劃建設以火電廠、鋼鐵(包括拆船煉鋼)、船舶修造工程爲主的綜合性重工業區。

#### (2)工業發展策略

A.煉油及石油化工: 設想從海 上輸進原油,建設石化工業

- ,一期建成年加工 250 萬噸 煉油廠,二期擴建到年加工 750 萬噸原油與石油化工聯 合企業,在這基礎上,利用 本地的海鹽資源,建設年產 1 萬噸繞鹼的繞鹼廠和 18 萬 噸繞鹼的繞鹼廠和 28 萬 噸繞鹼的繞鹼廠 如果東海 石油得到開發,湄洲灣有條 件成爲以煉油爲主的石油化 學工業基地。
- B. 電力工業:利用海運從北方 調煤,建設裝機容量為 120 萬千瓦的港口電廠,並聯于 省 220 千伏電網主網架上, 加強福建省電網結構。華東 電力設計院選擇了鯉魚尾、 西亭、塔林、沙格四個廠址 方案,還需進一步研究確定
- C. 鋼鐵工業:在湄洲灣先從拆船軋鋼、煉鋼入手,建設年拆20萬輕噸的拆船廠,然後利用引進球鐵礦和本省廢鋼鐵建設50萬噸或更大規模的鋼鐵聯合企業。
- D.船舶工業和海洋工程:利用 湄洲灣有利的條件,建設為 勘探海洋資源服務的海洋工程(主要包括船舶工業、 程(主要包括船舶工業、 洋鑽井平台和水下作業船 造基地、供應基地等), 及修造萬噸以上特別是五至 十萬頓的大型船舶工業。
- E.建材工業:在發展磚瓦砂石 等傳統的地方粗級建材的同 時,利用港灣附近豐富的瓷

土、花崗岩、海砂等,大力發展(有色)玻璃、建築陶瓷、衛生陶瓷、水泥、花崗岩高級飾料、建築預鑄構件等建材工業, 爲湄洲灣和其它地區提供大量的建築材料。

F.其它工業:主要有機械、電子、食品、輕工和外貿加工等。在發展以五六支柱工業的同時,爲了配合港口、工業建設,以及滿足人民生活需要,發展相應的地方性工業。

#### 二基礎設施及配套建設

#### 1.供水

採用南北岸分區、分期供水的辦法,近期主要通過對區域內現有水利設施進行改造挖潛調整,中遠期主要通過修建大中型水利工程設施,並可考慮南北兩區統一供水。

#### (1)南岸肖厝區供水

採用晉江干流金雞水閘取水方案 ,近期(到95年)供水流量按3.0米 3./秒考慮,中期(到二〇〇〇年) 使輸水能力達6.0米3./秒,達景可根 據國民經濟需要,與北岸統一考慮。

#### (2)北岸秀嶼、東吳區

本區需水主要靠對東圳水庫和木 蘭胺灌區水利工程進行挖潛改造調整 。 秀嶼區起步工程主要靠紅山水庫調 水 (1萬噸/日)。近期 (到95年) ,供水流量按3.0米/秒考慮,中期 ( 到二〇〇〇年)使供水流量達5.0米/ 秒。達景可結合南岸,進行跨流域調 水。

#### 2. 電力

- (1)近期(1995年前):採用南北 兩岸分別供電的辦法, 南岸先 以泉州架設一回11萬伏線路至 仙境變電所, 作為肖厝區開發 建設的施工用電(包括生活用 電),隨著煉油廠供電,再架 設第二回11萬伏線路直供廠區 , 同時將第一回路經擴建後的 仙境變電所11萬伏轉煉油廠, 作爲保安電源。北岸,目前已 建成莆田~芴石~秀嶼35千伏 線路, 可臨時解決當前生產和 生活用電, 待(福州火電廠的 配套項目) 笏石 220 千尤變電 站建成後, 可根據用電負荷布 局和增長情況逐步建設區域的 翰變電所。
- (2)中期(1995至2000年):建設 120 萬千瓦火電廠, 根據需要 ,建設第二個 220 千伏變電站 和相應的 220 千伏變電站和相 應的 200 千伏線路, 與省電網 緊密聯繫, 併完善湄洲灣區域 兩岸的輸配電網工程。

#### 3.交通

(1)公路:利用湄洲灣至三明干線 公路的建設和福度公路的技術 改造,並加快通公路、環港公 路的建設。目前除莆田~芴石 ~秀嶼37公里二級公路擴建工 程基本完成外,正進行涂岭至 沙格19公里二級公路和新居在 至東吳19公里二級公路以及笏 石至楓亭約20公里二級公路的 建設。

- (2)鐵路:規劃中有漳泉湄鐵路與 湄洲灣相接,並增建出省鐵路 線,積極籌建向(塘) 賴(州 )龍(岩)路。
- (3)航空: 短期内可先修復惠安機 場, 遠期可在笏石建設大型機 場。
- (4)通訊:配合港口、工業建設, 在湄洲灣南北兩岸建設現代化 的通訊網路。

#### 三綜合開發計畫

根據湄洲灣的基本特徵和國民經濟的發展情況,首先以船舶和汽車集疏運為主的大宗雜貨碼頭和煤炭碼頭建設以及水、電、交通等基礎設施的建設,改善和創造投資環境,為煉油廠、火電廠、網廠等大、中型項目營運做準備,利用漳泉湄港口鐵路建設,逐步擴大經濟腹地,建立起綜合性的大型深水港和重工業城市。

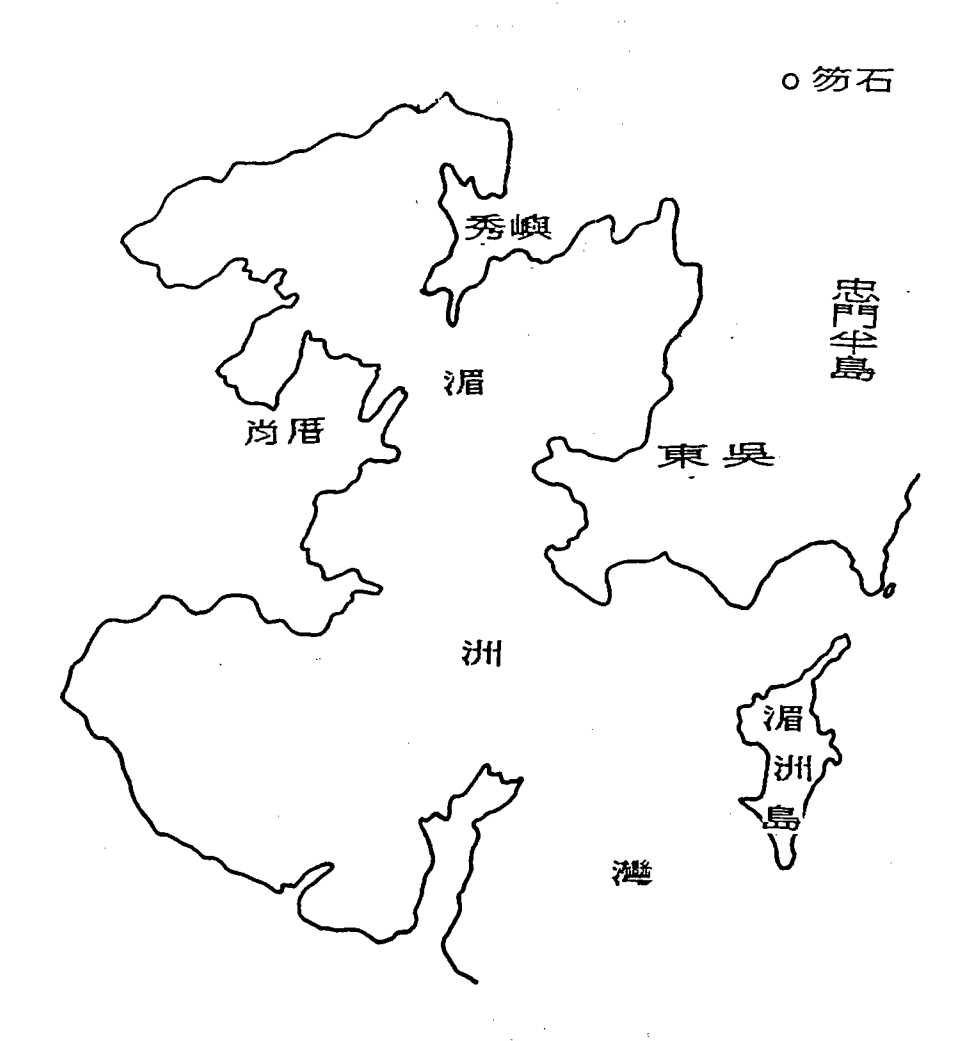
#### 五、對湄洲灣開發計畫之建議

上述湄洲灣開發計畫係由大陸地

方政府之技術人員所規劃,雖顧及各種產業之發展,但以一現代化港埠規劃的觀念而言。本人曾當面向參與計畫之規劃小組成員提出以下數項建議 供其參考:

- 1.各種產業之分區設置計畫,並未 以各該產業之成長量作未來發展 規模之預測,此點應是封閉幾十 年的大陸經濟環境所使然,目前 講求改革開放,但缺乏大量外匯 與援之下,成長速度之預估,誠 亦非易。
- 2.港灣工程欠缺整體性之規劃,各 種碼頭之配置方向,各級噸位船 舶之操船與航道水深之規劃等, 應作通盤檢討,詳加規劃。
- 3.加強灣內現代化導航設施之規劃。
- 4.應加強港灣公園化之環保觀念, 關於這點我們也坦誠台灣的港口 也做得不好,對於未開發之港灣 規劃尤須引以爲鑑。
- 5. 應成立統籌湄洲灣內港灣業務之 投資、與建、營運、管理之專責 單位。

○憂



中國大陸湄洲灣平面圖1:300,000

# THE COMPOSITE ANODES IN ICCP SYSTEMS

K.M.A. Rahim Manager, LIDA(R) Products De Nora Permelec Pte Ltd Singapore 2263

### 中文摘要:

在鈦金屬表面以特殊方法附著一層混合金屬氧化物而製成之外加電流 陽極,具有極強之抗酸、鹼性,並有良好之導電性、極低之消耗率,與傳統之外加電流陽極相較,具有體積小,易安裝,可塑造成不同外觀型式之陽極,防蝕之可靠性高及較爲經濟等等特性。

## **ABSTRACT**

This paper mainly describes general features of the Lida(R) products in ICCP (Impressed Current Cathodic Protection) system and its advantages over conventional anodes. The authors can be contacted for any further information on the application and performance of LIDA(R) products.

Ting Lee,
Manager
Fer Mo Enterprise Corporation
Kaohsiung, Taiwan, R.O.C

For the last 20 years LIDA(R) products have spearheaded ICCP systems worldwide, the reason being its reliability, negligible wear rate and the reduced cost when compared to other anode systems.

When designing an ICCP system-whether it is onshore or offshore-the C.P. engineer has to fullfil the task of making the most judicious selection of anodes. Composite anodes for its advantage of ease and convenience in the installation combined with reliability, low wear rate and economic considerations tend to be the right choice. Anodes like high Cr-silicon iron and magnetite are usually subject to high consumption rate. Subsequently even for a ten year life expectancy, a considerable mass of the anode material has to be incorporated.

Composite anodes consist of a ductile corrosion resistant metal as substrate with an electroconductive coating. The commonly used substrate metals are titanium and niobium. The coating material

used is either a noble metal like platinumor mixed metal oxide.

LIDA(R) products feature an electro-conductive coating of mixed metal oxides forming a solid solution with titanium as substrate and exhibiting electrical properties which allow the composite to function as an anode. The characteristics of LIDA(R) mixed metal coating are:

- excellent electrical conductor (resistivity of 10<sup>-5</sup> ohm-cm)
- deposited on the substrate by thermal decomposition and therefore anhydrous, and shows a very high chemical stability even in environments with pH values below one
- thermal treatment favours crystallisation which enhances chemical stability
- -low and uniform wear rates

Empirical results have shown that to match the performance of LIDA(R) mixed metal oxide coated anodes, platinum-clad titanium anodes tend to be uneconomical.

# LIDA(R) TUBULAR ANODE ASSEMBLIES

This is the most commonly used LIDA(R) type anode under various environments viz soil, seawater, freshwater, brackish water, mud etc.

## SOIL ENVIRONMENT

The maximum recommended cur-

rent density for LIDA(R) anodes in soil is 100 Amps/sq.m, when used with De Nora specified carbaneous backfill.

Case history studies of Lida installation in various groundbeds worldwide have established the reliability of the system.

There are more than 7000 Lida deepwell groundbeds operating worldwide at present providing adequate protection to various structures. The installed cost of a LIDA(R) deepwell system would be approximately  $30 \sim 50 \%$  cheaper than the conventional massive anode systems. The highlights and advantages of Lida deepwell anode strings are as follows:

- Ease of installation. No lifting equipments are required to instrall. A 100 amp string including vent pipe and end weight would weigh only approximately 150 kgs and could be installed by a 2-men team. The complete assembly could be delivered to site in a ready to install condition.
- With the unique and patented LIDA(
   R) connection, several anodes with suilable spacing can be assembled in one cable, Groundbeds which need over 100 amp output can be accomplished by a single string.
- Lida anodes for soil application are designed for 20 year nominal life and the case histories have proved beyond doubt that the system is most reliable.

Lida strings could be assembled for

other groundbed applications viz, verticalshallow, horizontal shallow continous and horizontal shallow discontinous.

There are a wide range of other Lida products for soil application catered to site conditions.

### SEAWATER ENVIRON-MENT

The maximum recommended current density for LIDA(R) anodes in flowing seawater is 600 amp/sq.m. The other parameters applicable are as follows:

Resistivity

: 35 ohm-cm max.

Salinity

: 25 gr/l min.

Chlorinity

16 gr/l min.

(as chloride ions)

Velocity

: 0.01 m/sec min.

Temperature range:10°C - 50°C

Based on above parameters the nominal design life of Lida anodes would be 15 years.

As in the soil application, the configuration of the anode could be selected from wide range of LIDA(R) products depending on the nature of application.

Retrofitting C.P. systems on offshore platforms is effectively and most economically accomplished using LIDA( R) tensioned strings.

# IN FRESH AND BRACK-ISH WATER ENVIRON-MENT

The maximum current density in this case for LIDA(R) anodes is 100 amps/sq.m. Resistivity would be in the range of 35 to 3000 ohm-cm.

# **MUD ENVIRONMENT**

Muds are generally classified as follows:

- -sea mud or saline mud
- -river mud

The recommended current density for LIDA(R) anodes in above cases is 100 amps/sq.m. max.

LIDA(R) anode sleds are commonly used worldwide for seamud application.

#### STRING ASSEMBLY PRO-CEDURE

Having discussed the various environments for which LIDA(R) systems find application, we shall briefly describe the assembly procedure of LIDA(R) tubular anode strings, the method which is unique and patented worldwide.

The desired length of cable is pushed through the tubular anode units; each anode has the anode-to-cable electrial connection at the centre of the tubular element and two sealing connections, one at each end of the activated titanium tube.

The anode-to-cable electrical connection is made by the following procedure: first, the cable insulation is removed for a short length to expose the copper wire; then two metal half-sleeves are fixed over the copper conductor and finally the central part of the activated titanium tube is uniformly pressed on the metal sleeves in order to achieve the electrical contact.

The seals on each end are obtained by pressing, uniformly, over the circumference, the activated titanium tube directly on the cable insulation.

A swaging machine, hydraulically operated with uniform pressure over the tube circumference, is used to achieve the seals on each end and the electrical connection in the middle of each anode.

Copper or iron rings are interposed between the activated titanium tube and the teeth of the swaging machine in correspondence with the position of the anode-cable connection and seals. The operation of reducing the titanium activated tube diameter is done in such a way as to prevent the formation of microcracks in those areas where the metal is subject to intense cold-working.

The above method obviates cable connection failure which is a common cause in CP system failures.

# ELECTRICAL AND MECHANICAL STRING CHARACTERISTICS

The anode cable connection in the middle of each anode has an electrical

resistance of less than 0.001 ohm.

The seals are tested to an external pressure of 15 atmospheres of helium. Minimum breaking loads for the anodecable connections are:

- -with EPR/CSPE 50: 900kg (1,985 lbs)
- -with EPR/CSPE 16: 300kg (662 lbs)

Maximum weights of the tubular anodes for a LIDA\* string 100m (328 ft) long are as follows:

- -with 15 S.T. 2.5/100, 7.0kg (15.5 lbs) or 8% of the total string weight
- with 10 S.T. 1.6/100, 3.0kg (6.6 lbs) or 10%of the total string weight
- -with 15 S.T. 1.6/50, 2.9kg (6.4 lbs) or 8.5% of the total string weight

The anode weights will not generate excess mechanical stress on the anodecable connections.

Other than Lida tubular anode strings, the commonly used anode configurations are:

- Lida strip configured to various current output requirments
- Lida wire assembly Lida mesh assembly
- Lida rod anode assembly in various configurations
- -Lida plate assembly

# LIDA(R) CANISTERED ANODES

In some types of installation (soil), the use of anodes pre back-filled is preferred to minimise installation time and to obtain a better compaction of the backfill around the anodes.

In these cases, Lida tubular anode string or strip/wire/rod anodes are shop assembled in galvanised steel spiral tubes with carbonaceous backfill.

Canistered anodes of various current outputs can be made available by changing the dimensions of the anode element.

The preferred carbonaceous backfill material used in canistered LIDA \* anodes has the following physical/chemical characteristics:

-Particle size : 0.1-1mm(150-20mesh)

- Resistivity : max. 50 ohm-cm

-Carbon content: min 90%

The backfill material is vibrated inside the galvanized steel canister to obtain a good compaction around the activated titanium anodes to minimize the contact resistance.

# QUALITY CONTROL OF LIDA\*STRING

The quality control procedure for the LIDA\*strings covers:

- the electrocatalytic activation based on mixed metal oxides
- -the cable

and two major operations:

- electrical connection between cable and tubular anode;
- sealing between cable insulating material and tubular anode

# ELECTROCATALYTIC ACTIVATION

For the base metal-Titanium Grade 1-a Certificate of Compliance with ASTM B 348-83 will be supplied, if requested.

An activated titanium sample, representative of each batch of anodic activation, is retained for six years.

On each sample, an electrochemical test is carried out measuring the anode potential in synthetic sea water at a current density of 1,000 A/m2 (93A/ft2).

The potential of the anode shall not be higher than +1.4 volts (SCE).

A bending test on a part of the sample is carried out to check the mechanical stability of the metallurgical bond between the electrocatalytic coating and the titanium substrate.

### **POWER CABLE**

The quality control for this component is carried out by the cable manufacturer, who is providing the electrical test certificate.

These procedures cover the control on the basic raw materials used for the cable insulation and the control of the extrusion process. Finished cable testing includes:

- Voltage test (12 KVolts for 15 minutes
- Cable insulation resistance

#### -Conductor resistance

# ELECTRICAL CONNECTION

For each power cable, the electrical continuity between the copper core and the anodes assembled on it, is checked. Anode-cable connection resistance shall be lower than 0.001 ohm.

#### **SEALING**

Seals are submitted to a quality control procedure, which is described briefly below:

- a pressurized helium source is connected to the cable as it leaves the assembly line.
- the interface between the copper wire and copolymer sheath is pressurized to 2.0 atmospheres,
- after a set period of time, the opposite
   end of the unit is "sniffed" for helium
   by means of a mass spectrometer;
- after helium is detected, each seal is subject to the mass spectroscopy detector
- if no helium is detected along the string, the anode-cable string is approved;

# 地下水整治方法簡介 — 現場微生物處理之推展與設計

### 王奕森 美商 Riedel 環境顧問公司資深水文工程師

# 摘 要

本文主要之目的在介绍一般地下 水整治的理念。 目前在美國之工業污 染案例中現場調查工作, 幾乎完成, 促使整治的技術研究與發展 / 益加迅 速,以滿足需求,往昔之抽水與處理 方法 (Pump and treat) 已經不合經濟 時效,而不受業主歡迎,新進的方法 乃綜合各種不同的科技, 如微生物法 (Bioremediation),紫外線/氧化法 (UV/Oxidation),抽氧法(Venting ) , 電解法 (Electrolysis ) , 電渗透 法(Electro-osmosis),及高溫氣除法 (Steam Stripping)等以達到整治的效 果, 方法的選擇乃配合廠址之地質, 水文, 及污染物質本身的條件而定, 其中亦以現場處理(In-situ Treatment ) 較能滿足經濟效益, 而廣受業主及 環保單位的接受。

# 一、前言

美國環保署(U.S. EPA)近年來 對一些有害廢棄物之丟棄條件限制更 趨嚴格,使得往昔對有害廢棄物廢置 於掩埋場的處理方法,變得不合經濟 效益而不太可行。因此應用現場微生物處理法來減低地下水中的碳氫化合物變成了當前美國地下水整治最受歡迎的方法之一。 其優點不但降低了整治的成本,也免除了污染物質之可收為。 處理與丟棄上所帶來的種種困擾。本文乃敘述筆者所參與之一地下水整治的經驗,其中涉及地下水抽取、回注、地面處理、現場微生物處理及電腦模擬等計劃。

## 二、背景介紹

美國加洲一石油公司附屬之化工廠,以生產塑膠粒為主,其生產過程中以苯乙稀單體(styrene monomer)及乙苯(ethylbenzene)為主要原料,並蓄存在二座5,000加崙的地下儲存槽(underground storage tank)。這二儲存槽在過去曾發生外沒而造成該廠址內的土壤及地下水質污染現象,至於該化學原料溶液流失的數量,則不得而知。

於外洩事件發現後, 該廠乃採取 了緊急措施, 並聘請一家環保顧問公 司, 進行土壤及地下水的全面勘察。 在勘察的過程中, 共礸有深水井2口 ,淺水井18口,且在當地之環保單位 督促下,定期做地下水質監測,以決 定污染水體的動向,於1990年三月, 該廠由筆者所屬之環保顧問公司負責 策劃,展開第二階段之地下水調查, 並著手地下水整治設計的專案計劃。

圖(-)為該廠一般地上建築物的位置圖,並指出相關地下水觀測井之相對位置。該廠佔地約為2.5英畝,廠的西區主要的塑膠粒製造場,而在西面的周界附近有一鐵軌,以爲運送原料之用,廠的東面則爲倉庫及行政大樓(不在圖內)。該廠北面有一大樓,共地下室有一集水坑(Sump),納地面20呎下,此集水坑乃用以抽取一條環繞大樓的法式壕溝(Frech Drain)所渗入的地下水,降低地下水對該大樓所施予的靜水壓,此法式壕溝共長300呎長,20呎深,並在集水坑內裝有抽水泵浦,流量爲每分鐘5加崙左右。

# 三、廠址地下水文調查

由第一階段的地質及地下水調查中,該廠地下之含水層共有二層。此二含水層隔有一約30 呎厚之不透水層,淺水層的地下水位約離地面15 呎,而深水層的水位則離地面有75 呎深,而淡水層之水力坡度偏向北方及東北方,亦即該廠址下之地下水向北及東北流動(參照圖二)。

淺水層的主要構成沉積物爲細砂及粉土(silt)等渗水率(hydraulic conductivity)不甚良好之土壤,而深水層所含之沉積物則爲透水性良好之

中砂及細砂層,於第二階段之水文調查中的抽水試驗結果算出淺水層之導水係數(transmisivity)約在500至1000加崙/天・吹之間,爲一不良之含水層。

# 四、 水質化驗及微生物分析

廠址的深、淺水井,依照環保單位之要求,做定期水質監測,所抽取的地下水樣品均送至環保局認可之化驗室做定量分析,圖(三)為碳氫化合物之濃度分佈圖,且表一列出部份的分析結果,從圖(三)中可看出,高濃度之碳氫化合物集中在 MW-7 附近,而在MW-3A附近亦有異常的現象。

爲了配合微生物現場整治方法的評估,水樣亦分析微生物的種類及數量(參照表二),廠址的地下水中平均含有6×10°/ml的有機營養菌(total heterotrophs),在這些菌中並帶有足夠的碳氫化合物吞食菌(degrader),其數量約爲1.8×10°/ml,這些數據即爲設計現場微生物整治系統及運作的根據。

# 五、 現場地下水整治系統 之設計

根據化學及微生物分析的結果, 配合相關之水文資料,以爲設計一組 地下水現場整治之處理系統。 這組處 理系統綜合了地面處理系統,微生物 之營養及溶氧添加系統,地下水抽水 及回注系統及地下水攔截系統等,如 圖四, 各系統之功能及用途分述如下 ·

(A)地下水捆覆系統 (Groundwater Intercepter Trench)

此欄機系統主要目的在有效防止 在地下水整治作業中之污染水體飄離 廠外,該系統由一條約500 吹長的棚 水溝組成。此溝深度約爲20呎,且每 100呎設有一集水坑,坑底約爲25呎深 。溝中之填充物以礫石爲主,以利抽 取欄截之地下水,總抽水量爲每分鐘 50加崙。

(B)地下水抽水與回注系統 (Pumping & Reinjection System)

地下水經由欄水溝及北面大樓之 集水坑中,抽取後經由管線輸送至一 座地面處理系統適當處理後,再經過 微生物營養及溶氧添加系統,最後始 注入回注系統。

回注系統包括一約 150 吹長的地下透水管及三個回注場。每一回注場深約 3 吹,並埋有網狀透水管。回注場的總面積共約3,000平方吹,並以以礫石充填以利回注,回注場的位置請參照圖侧。

(C)地面處理系統 (Surface Treatment System)

該系統的主要功能在降低所抽取 地下水中之污染有機物(Contaminants)濃度,並除去水中之鐵離子,以減低在回注場附近可能造成的土壤孔隙阻塞,該系統包括有沙濾器(sand filter),空氣浮除槽(Dissolved Air Floatation),及紫外線氧化槽(UV/Oxidation Unit)等。 (D)微生物營養及溶氧添加系統

地下水經由地面處理系統處理後 ,再進入本系統以調整水之pH值,然 後加入微生物成長所需之養分如銨( NO<sub>3</sub>-N及NH<sub>4</sub>-N)及磷等。最後再加 入過氧化氫(H<sub>2</sub>O<sub>2</sub>)以增加溶氧濃度 ,以利喜氣微生物之生長,調整後的 水質pH值約在6.5至7.5之間,而水中 碳、銨及磷之濃度,比例在1000:20 : 1(此比例視各地之土壤化學成份 及環境而定),而溶氧之濃度亦調至 15至100ppm之間。

# 六、 現場微生物整治法之 流程

本法之流程乃將污染之地下水經 由欄水溝及北面大樓之集水坑抽取, 並輸送至沙滬器除去部份之懸浮固體 後,送至空氣浮除槽,除去水中之鐵 雕子化合物,再送至紫外線氧化槽降 低碳氫化合物, 然後再送至營養及溶 氧添加槽調整pH值及加入適量之養分 及溶氧。之後,處理過後的水才輸入 回注場而回到地下水體, 並造成了水 丘 (water mound)。此時富養分的水 由水丘往污染區及其四周流動, 並刺 激含水層的微生物生長, 而加速微生 物對碳氫化合物的破壞。 其主要的作 用有二,第一是稀釋,第二是微生物 的破壞作用(biodegradation)。於是 廠址底下之地下水, 週而復始的抽水 、處理、及回注,直至水質符合環保 單位的標準爲止。

# 七、電腦模擬

綜合上述設計之理念及水質化學分析數據,整治運作之水質變化情形,乃以電腦模型來預測。電腦模型的選用,以Thomas Prickett之「PLASM」來模擬地下水位的分佈,然後以萊斯大學所發展的「BIOPLUMEID」來模擬溶氧的濃度擴展及碳氫化合物濃度之變化。

圖田爲二度及三度空間的水位分佈圖,此圖乃模擬地下水抽水及回注後第24天的水位分佈情形,很明顯的,在回注場附近造成了水丘(Water mound)及在集水坑附近造成了一抽水錐(Cone of Depression)、富養分及溶氧的回注水從水丘流向污染區,並刺激了水中的微生物(有機營養菌)的成長,而增加了微生物處理(Biodegradation)的作用。圖供指出了溶氧的分佈情形。在回注後第90天,

於MW-7及MW-8附近的溶氧皆升至10 ppm 左右,而圖(七)亦指出碳氫化合物 濃度的分佈,在微生物處理後第90天 ,廠內的污染水體幾乎消失,僅有在 MW-16及MW-3A附近有輕微的異常現 象。

# 八、結論

一項地下水整治工程之進行,需配合多種不同的專業技術, 諸如地質、水文、化工、土木、微生物及管理,本專案的設計理念,業已經環保單位核準實施,並計劃在一年內完成整治工作。

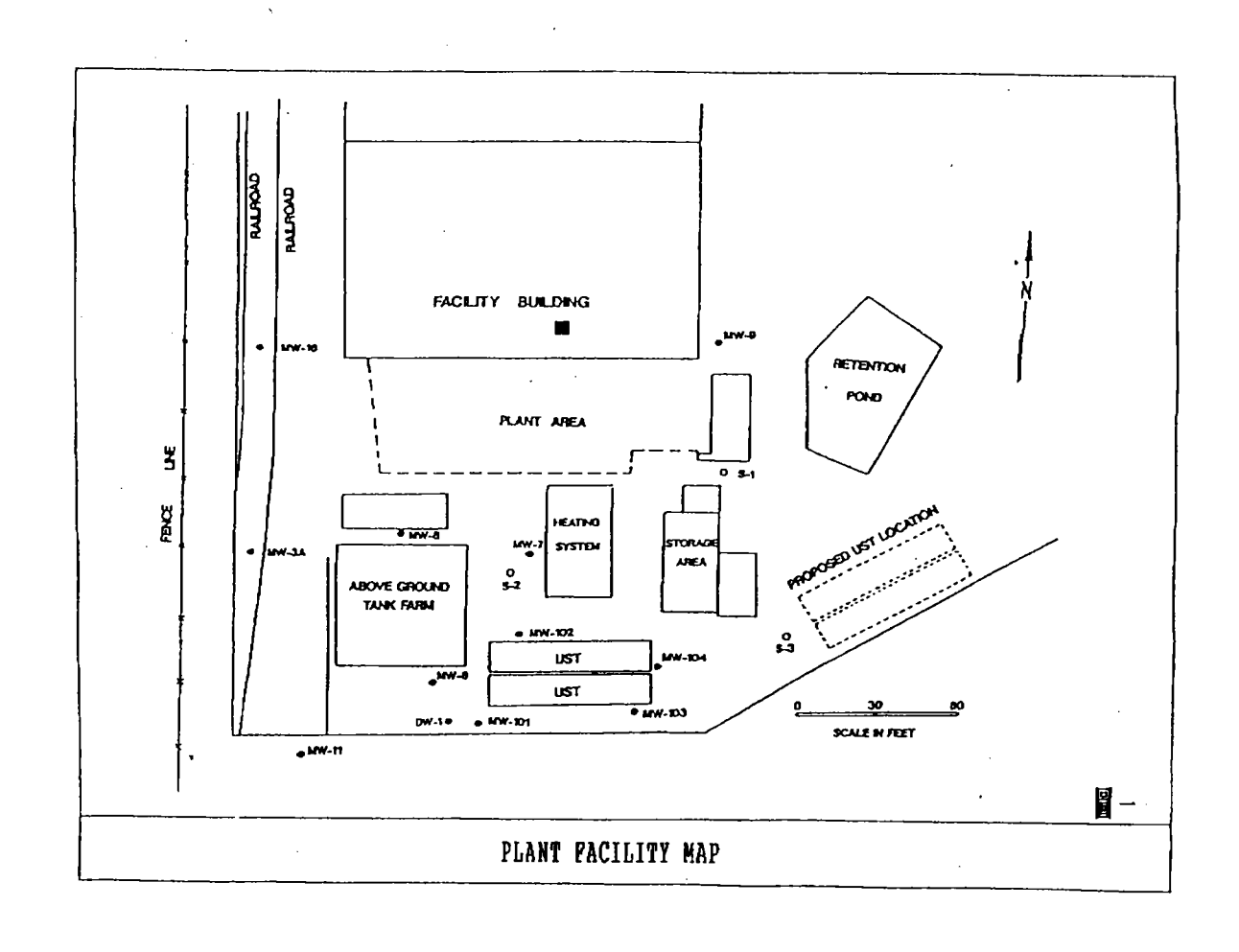
# 九、感謝

作者藉此機會感謝作者前服務公司之同仁熱心協助,並特別感謝羅懷 涛先生的技術指導。

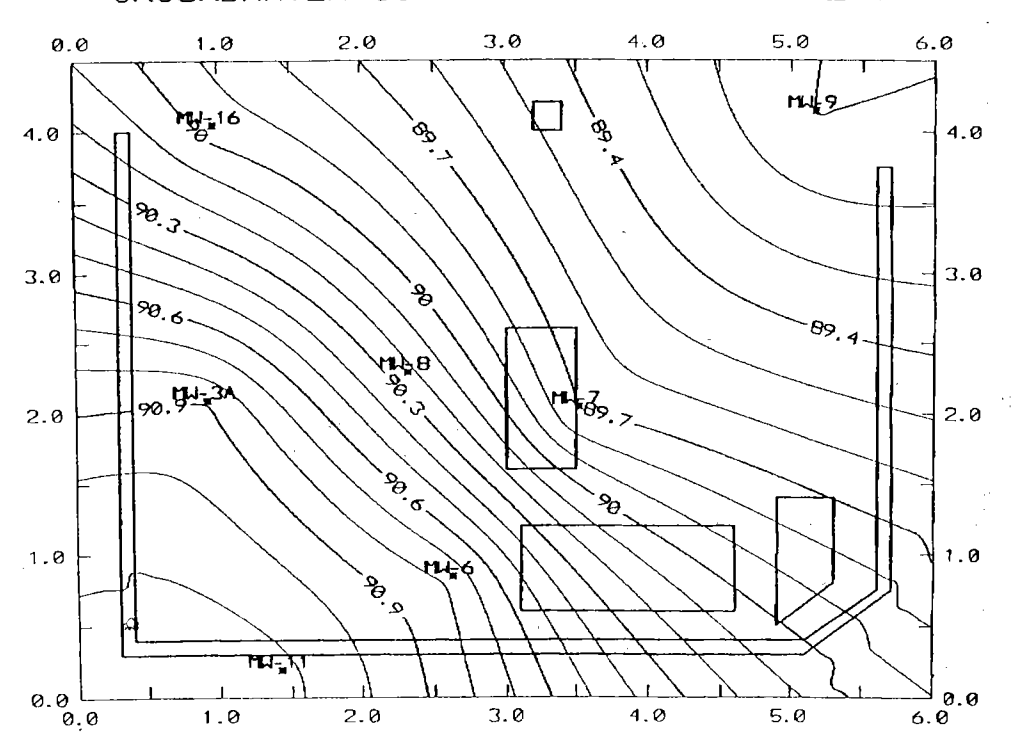
表一

TABLE GROUNDWATER QUALITY DATA Concentration in MG/L (PPM)							
Ethylbenzene Styrene COD BOD pH Alkalinity Chloride Nitrate Sulfate	NW7	S-3	SUMP	DW-1			
	74	0.955	ND	ND			
	464	ND	ND	ND			
	585	143	109	106			
	234	20	4	9			
	6.9	6.9	7.0	7.3			
	842	720	547	192			
	50	106	120	125			
	16	1.2	6.5	2.7			
	18,300	1,520	41,400	295			

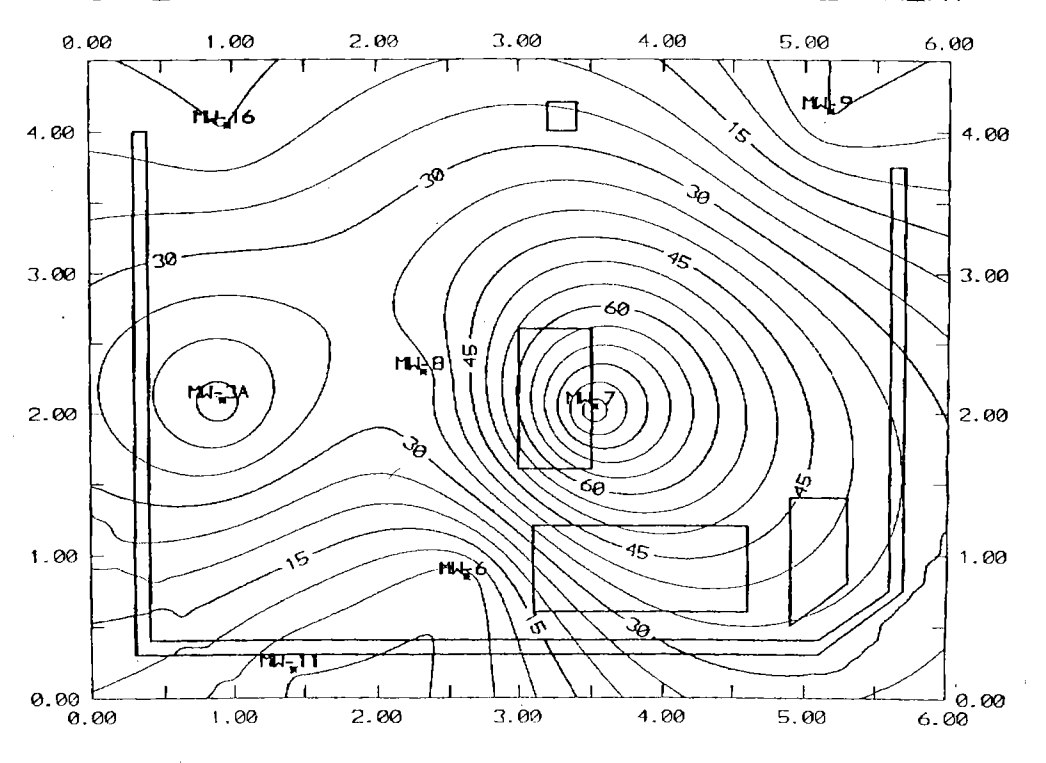
UNIT	TABLE MICROBIOLOGI TS IN COLONY FORMAING	CAL DATA*	
NW7	5.2×10 <sup>8</sup>	Pseudomonas Bacillus	2×10 <sup>4</sup> 3×10 <sup>4</sup>
Sump S-3 DW-1	6.5×10 <sup>8</sup> 7×10 <sup>8</sup> 5.2×10 <sup>8</sup> 6.5×10 <sup>8</sup> (Duplic	Not Analyzed Norcadia Not Analyzed	4×10 <sup>3</sup>
Microbial reported o	analysis performed by on Match 14, 1991.	Valley Microbiology Ser	rvices and

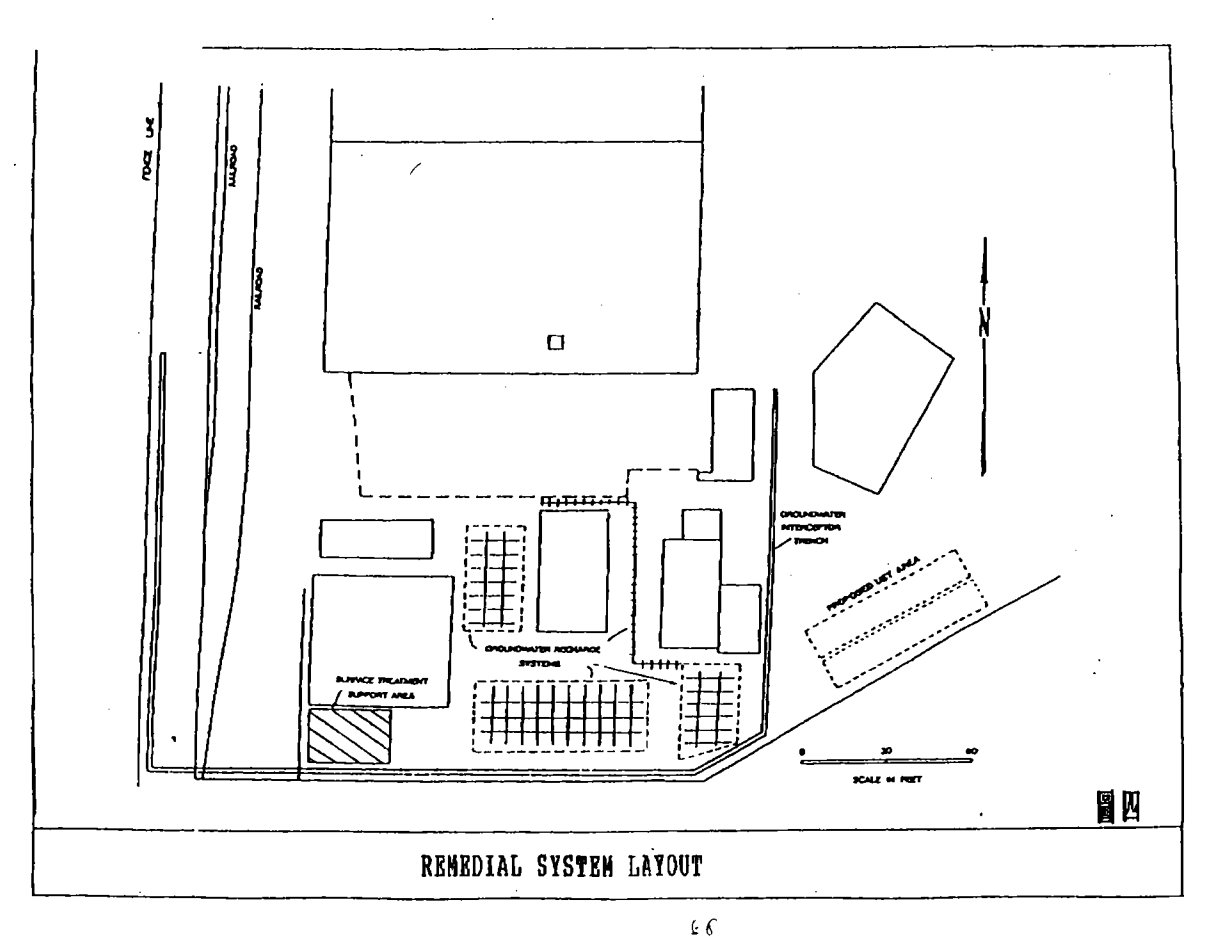


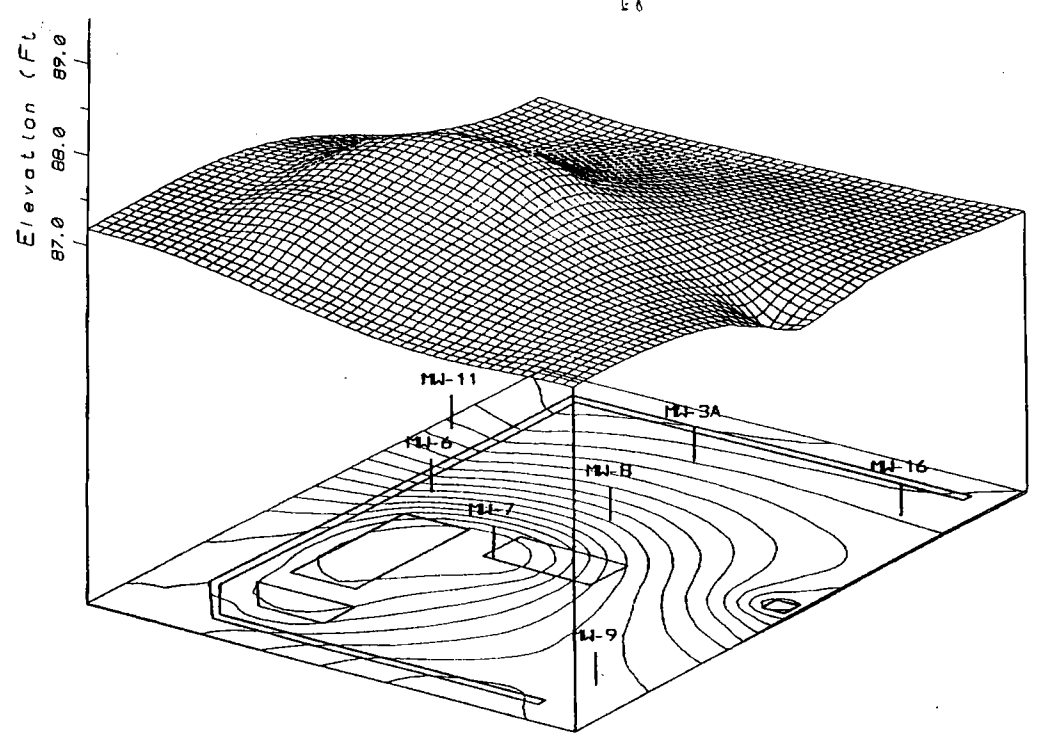
GROUNDWATER CONTOUR BEFORE TREATMENT



圖三
TOTAL HYDROCARBON CONTOUR BEFORE TREATMENT

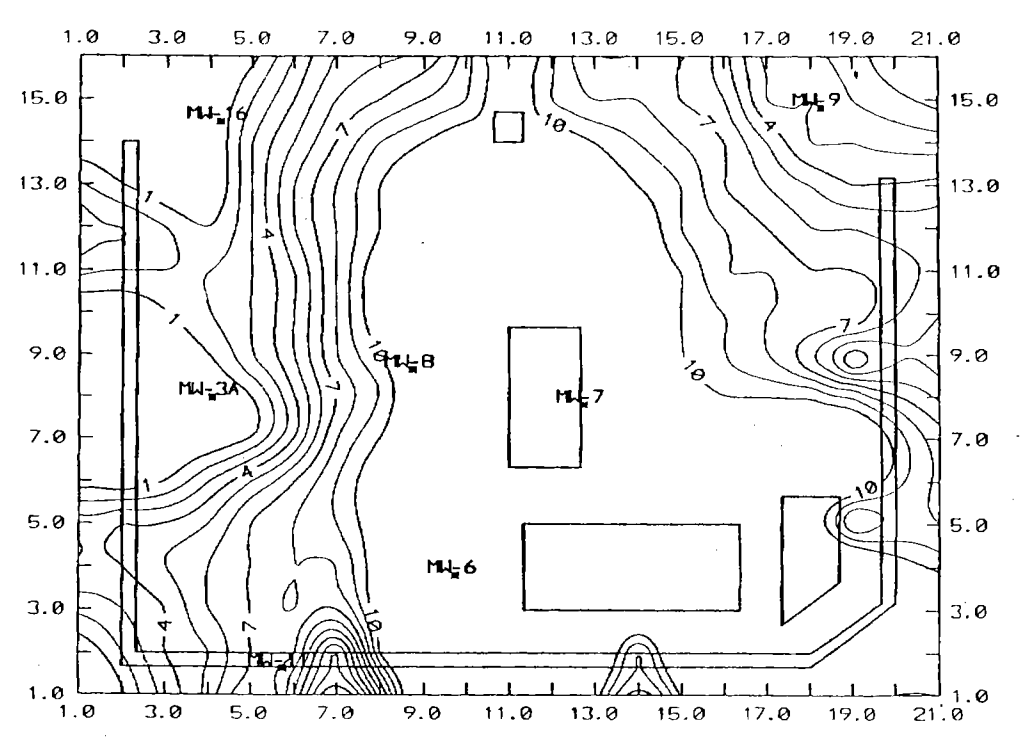




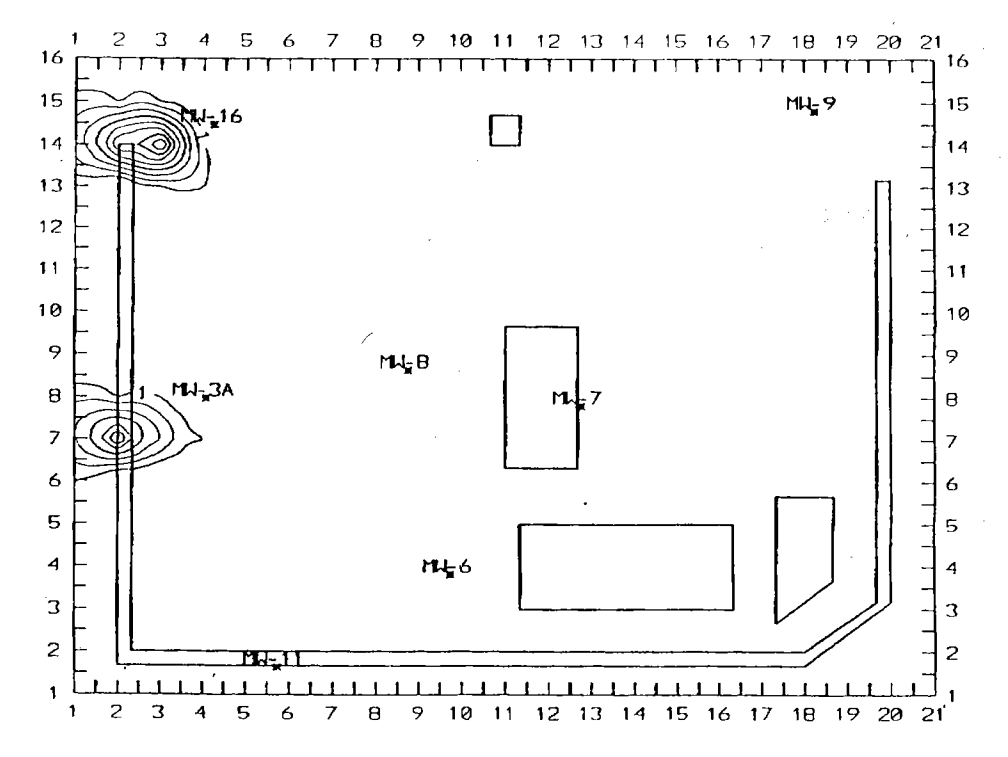


GROUNDWATER SIMULATION AFTER 24 DAYS

圖六 AFTER 90 DAYS OF OXYGEN ENHANCEMENT



圖七 TOC CONTOUR AFTER 90 DAYS OF TREATMENT



# 港灣防蝕(III)

# 李定湘,李定宇,王維寧 匯茂實業股份有限公司

# III·工程設計

#### (A)MICROVIEW (微觀工程設計)

鋼鐵結構物在海水中所需之保護電流為120mA/m²,在海泥中所需之保護電流為20mA/m²(對此兩數值雖有諸多之爭議,但依本公司所做之工程,如基隆港、台中港、高雄港等等,可確定此兩數值對台灣海域是保守而有效的;世界各地海域之海水成份、溫度、含氧量、環境等均可能有效的,世界各地海域之海水的有效的;世界各地海域之海水的有效的;世界各地海域之海水的有效的,所以此兩數值在其他海域的有100m²在海泥中,則此一面鋼片總共所需之保護電流為:

$$120 \frac{\text{mA}}{\text{m}^2} \times 100 \text{m}^2 + 20 \frac{\text{mA}}{\text{m}^2} \times 100 \text{m}^3$$

=14000 mA

=140A

参照本文港灣防蝕(II)中陽極效率之計算的範例(紹一鋅一銦一鏤一 鈣系鋁合金陽極),每公斤鋁陽極可 釋出107.91 mole e (100%效率時), 若此鋼片需保護20年不生銹,則此鋼 片在此20年内所需之電子數目爲:

$$14A \times 20$$
年 $\times \frac{365 \cancel{\xi}}{19} \times \frac{24 小 + \cancel{\xi}}{1\cancel{\xi}} \times \frac{60 \cancel{\phi}}{1 小 + \cancel{\xi}} \times \frac{60 \cancel{\phi}}{1 \cancel{\phi}}$ 

=8830080000 coul

$$=8830080000 \text{ coul} \times \frac{1 \text{ mole e}^{-1}}{96500 \text{ coul}}$$

 $\approx$ 91503 mole e

依此計算,則此鋼片在20年內所 需之上述鋁陽極重量(陽極效率以90 %計)爲:

$$\frac{91503 \text{ mole e}^{-}}{107.91 \frac{\text{mole e}^{-}}{\text{KG}}} \approx 942257$$
 (1)

(以上之計算未考慮陽極之形狀、底面或底面及兩端是否有塗上 COAL TAR EPOXY等因素) ,若單以100㎡鋼片在海水中計算,則所需之陽極重量爲

$$\frac{20 + \times (\frac{120 \frac{\text{mÅ}}{\text{m²}} \times 100 \text{m²}}{1000 \frac{\text{mÅ}}{\text{Å}}}) \times \frac{365 \times 24 \cdot \text{h}}{1 \times 12} \times \frac{60 \cdot \text{h}}{1 \cdot \text{h}} \times \frac{60 \cdot \text{h}}{1 \cdot \text{h}} \times \frac{60 \cdot \text{h}}{1 \cdot \text{h}}}{\frac{1}{1 \cdot \text{h}}}$$

$$\frac{\text{coul}}{\text{mole e-}} \times 107.91 \frac{\text{mole e-}}{\text{IG}} \times 0.9$$

$$\frac{\text{coll}}{\text{mole e-}} \times 107.91 \frac{\text{mole e-}}{\text{IG}} \times 0.9$$

若單以 100 m²鋼片在海泥中計算 ,則同上之計算,所需之陽極重要約 爲134公斤----(3)

(2)+(3)=942公斤=(1)

由以上之討論,所得之結論如下: (以保護20年爲期限)

(1)在海水中每平方米 (m²) 之鋼鐵 結構物

所需鋁合金陽極重量約爲:

(2)在海泥中每平方米 (m²) 之鋼鐵 結構物所需之鋁合金陽極重量約 爲:

以上兩個數字可用來做爲工程設 計估算之用,亦即一般所謂之 RULE OF THUMB。

而所謂足夠之陽極(本文港灣防蝕(II)中電位測試節所述)即爲遠超過此RULE OF THUMB所述之重量而陽極呈片狀,使放電面積增大,而使得實驗室中測得鋼試片之電位(相對於參考電極)即可代表陽極本身之電位(相對於參考電極)。

# (B)潮汐飛沫帶之防蝕微觀 (多照本文

#### 港灣防蝕(1)

- (1)含氧量多,在漲落潮間,為維持 海水本身電之中性,陽極對此段 區域保護不完全。需另覓防蝕保 護法。
- (2)飛沫帶水滴與海水本體之間可能 之不連續性,以及含氧量多,更 易造成鋼鐵結構物之局部腐蝕, 亦需另覓防蝕保護法。

(以上之討論已將大氣腐蝕包含

之内)

此潮汐飛沫帶之保護設計一般使 用英國之 DENSO PASTE , DENSO TAPE及保護層,日本之NITTO PASTE ,NITTO TAPE 及保護層 , 美國之 TAPE COAT (較新發展出來的保護 法)等等,這一類之產品甚多,研究 發展仍然是在繼續進行中。

#### (C)MACROVIEW(宏觀工程設計)

一般港灣防蝕用紹陽極之設計, 多半使用經驗公式,本文作者所用之 工程設計電腦程式,依參照中華顧問 工程公司,德國 AMPAK公司,日本 中川及日防公司,美國、英國之資料 , 及 CATHODIC PROTECTION HANDBOOK (BY W.V. BAECK-MANN AND W. SCHWENK)等,以及 本公司之經驗綜合而成, 因係 PRO-PRIETARY,程式未在本文中列出;程 式也依新的理論及實際經驗在不斷的 改進之中。

依此電腦程式(考慮陽極形狀, 尺寸,海水比電阻等等因素),在簡 單狀況之下,所計算之結果與(A)所得 之結果甚爲接近,在複雜之狀況下( 如底面或底面及兩端塗上 COAL TAR EPOXY等;一般陽極多爲梯形), 亦相去不遠,通常所需鋁陽極之重量 約在7至12 KG/m²之間(保護年限約 爲20年)。

港灣研究所在此方面甚有研究, 對設計之複雜性亦知之甚詳,港工組 亦正在積極進行對鋼板椿,鋼管椿等 之防蝕(海水中,潮汐飛沫帶,海泥 中)設計做深入的研究及發展,以供 省交通處、港務局及其他機構做爲条 考。

鋼管椿及鋼板椿於安裝陽極後之 測試法甚爲簡單,將導電體(如不銹 鋼棒等焊接於鋼管或鋼板上,伸至碼 頭面左右,其電位之測試法與本文港 灣防蝕(II)中陽極之測試相同。

完全保護之標準爲: (LOWER WATER LINE之下方)

(1)相對於飽和甘汞電極在 770mV 或 770mV以上。

- (2)相對於飽和硫酸銅電極在 850mV 或850mV以上。
- (本文係以氧化電化表示,以避免意 義上之不易了解;還原電位系統之 完全保護標準表示法為:
  - (1)相對於飽和甘汞電極在一 770mV 或更負。
  - (2)相對於飽和硫酸銅電極在- 850 mV或更負)。

# 以震測錐試驗評估土壤液化潛能

#### 陳圭璋 港研所副研究員

#### 一、前言

台灣位於環太平洋地震帶之西環 , 大小地震頻繁, 因地震引致之動態 性荷重,對飽和鬆砂性基礎土層,可 能引致土壤液化现象, 土壤之液化將 喪失支持強度, 因而造成位於其上之 結構物嚴重傾倒與破壞, 爲避免地震 造成重大工程設施之破壞, 惟有於工 程規畫階段, 對工程地址作詳細之調 查探測之工作, 以了解工程地址其基 礎土層之液化潛能, 而避免將工程結 構設於高液化潛能地區, 或者將該等 土層改良, 設法降低其液化潛能。 過 去數十年經 Seed 等多位學者之研究, 對土壤液化現象之成因、 液化潛能研 判與土壤液化防制等, 無論在理論或 實務方面均有長足之進步。

目前常用以評估土壤液化潛能之方法大致可區分爲兩大類, 其一是根據室內之試驗結果來分析, 另一種是根據現地試驗結果來分析, 室內方法之主要關鍵在於能取得有代表性之土樣, 否則於取樣與試驗過程對土樣造成之擾動, 將影響試驗結果之可靠性, 而作出錯誤之評估結果。至於現地試驗 SPT, 雖然建立有很多經驗法則

,而且其應用情形也不錯,惟該試驗 在設備及人員操作上甚難有一致之標 準,因之有時造成試驗結果之未具代 表性,進而影響土壤液化潛能之評估 結果。

荷式錐貫入試驗 CPT 在過去數十 年經學者專家之研究發展與改進, 使 CPT 由最初僅能量測錐頭阻力( Cone resistance),而逐漸演變成能同時量 測錐頭阻力、摩擦阻力(Local friction )、孔隙水壓、垂直度及溫度等之水 壓錐(Piezocone),利用水壓錐試驗 結果詮釋評估土壤液化潛能之方法近 年亦逐漸發展成熟,加上 CPT 試驗大 都由機械操作, 且其設備與試驗過程 都有標準規範, 因之可將人爲之錯誤 減至最低,目前有逐漸取代 SPT 之趨 势。 Robertson 等學者爲改進水壓錐評 估固結性 (Cemented) 砂土或過壓密 粘土工程性質之能力, 於水壓錐内部 增設量測土層剪力波速之波動接收器 (Geophone), 該貫入錐頭我們稱之 爲震測錐 (Seismic cone) 圖 1 爲其結 構示意圖, 而剪力波速亦爲一種評估 土壤液化潛能之重要全數, 本文願就 以震測錐試驗結果評估土壤液化潛能 之有關問題作一敘述, 以供工程界条 考。

# 二、根據錐頭阻力評估土壤液 化潛能

Seed 等多位學者曾建立由 SPT-N 值評估土壤液化潛能之方法, 該方法 是根據觀察地震前後現地土壤反應行 爲所訂出 N 值與臨界反復應力比 ( CSR)  $\tau_{m}/\sigma_{o}$  之關係圖如圖 2 所示 ,圖中(N,) "爲現地量測N值經正規化 成60%自由落錘能量之修正值,該圖 爲根據淨砂土 ( Clean sand ) 之行爲 所建立之關係。 Seed 研究土壤液化問 題時,發現飽和疏鬆砂土承受反復荷 重後,孔隊水壓將逐漸增加,當孔隊 水壓等於土壤之總應力而達到液化時 , 會產生無限量之變形,但隨砂土緊 密程度之增加, 其液化時之應變量將 逐渐變小,亦即僅會引致有限量之變 形,在工程規畫階段,若以基礎土層 其液化潛能如何來選定結構物地址時 , 便須視結構物能忍受之變形量而定 **,只要液化時土層之應變量不超過結** 構物能忍受之程度, 該土層便可視為 合適之施設地址。 Seed 爲便於工程上 之應用,於圖2內更建立一組曲線供 研判土層承受反復荷重產生液化時應 變量之大小,該圖顧示當淨砂土 (Dsu =0.25mm) 且(N,),小於10~15時, 土壤液化將產生大量之變形, 但若其 (N,) "大於10~15時,土壤液化將僅產 生有限之變形量, 通常其應變量將小 於20%。

Douglas, Seed, Robertson等學者於 從事研究錐頭阻力  $q_c$  與 SPT-N 値之關 係時,發現各種土壤其  $q_{ci}/(N_i)_{60}$ 比值 雖然不同, 但同種類之土壤其比值常

爲定值, 且比值是隨土壤顆粒平均粒 徑之增大而逐漸增加, 其比值之分佈 情形如圖 3 所示, 爲工程應用安全起 見, Robertson建議淨砂土其q a /(N1)m 比值選用5, q. 爲錐頭阻力經有效覆 土壓力正規化之數值, $q_{cl}=q_{c}$  · ( $\sigma$ ) ) as , Robertson根據qa/(N,) a之比值 ,將圖 2 内之横軸由 (N,)。轉換成 q。 , 因之該圖亦能顧示修正錐頭阻力與 臨界反復應力比(CSR)之關係, Robertson 認爲圖 2 僅適於有效覆土壓力小 於 1.5kg/cm²時發生之液化現象,若土 層有效覆土壓力大於1.5kg/cm³時,於 評估土層之液化潛能, 須將該關係圖 之剪應力比作適量之減小。 圖 2 爲根 據地震規模M=7.5及土壤爲乾淨砂土 所建立評估土壤液化潛能之關係圖, 若地震規模不是7.5或砂土含有鮂料, 則該關係圖須加以修正才能適用。 (1)地震規模之修正

Seed 認爲從液化觀點而言, 若考 **應地震之作用力爲0.65 τ\_\_\_ 時,不同** 規模之地震其主要不同在於其所產生 反復剪應力之作用次數,根據 Seed 統 計分析結果顯示不同地震規模其對應 之作用次數如表 1 所示, 若以地震規 模M=7.5之作用次數選定爲冬考標準 則不同地震規模其將產生液化現象 之作用次數與反復應力比之比值 r/r. 之關係圖如圖 4 所示, 欲將圖 2 地震 規模為 7.5 之關係圖修正成適用於各 種不同地震規模,則須利用圖4内所 顧示各種地震規模所對應之縱座標與 圖2内之縱座標(反復應力比τ -/ σ . ΄ ) 相乘而得新反復應力比, 因此可獲 得各種不同地震規模下之錐頭阻力q。

與臨界反復應力比之 $\tau_{w}/\sigma_{o}$ 之關係圖。

表 1 不同地震规模反復應力作用次數 地震规模 地震作用力為0.65  $\tau_{max}$ 

	之代表作用次數
81/2	26
$7\frac{1}{2}$	15
63/4	10
6	5-6
$5\frac{1}{4}$	2-3

#### (2)細料含量之修正

細料含量(Fines content)FC之定義是通過井200篩(0.075mm)之重量百分比,某種砂土其細料含量若增加,則其壓縮性(Compressibility)將增加,在產生大應變(Large strains)時該現象特別明顯,雖頭阻力爲一種大應變情形下之量測結果,因此當土壤之細料含量增加時,將使得土壤之壓縮性改變,也使量測之錐頭阻力有減低之情形,Kuerbins 認爲砂土所含細料若爲非塑性(Non-plastic)則對液化之阻抗(Liquefaction resistance)將維持不變。

Robertson根據Seed之資料建議錐頭阻力qel因細料含量之修正量△qel,圖 5 為各種qel值在不同細料含量FC狀況下之修正量△qel之變化圖形,該圖形顯示在FC<40%時修正量△qel隨FC之增加而增加,但該圖在FC>40%以上時,因土壤之排水性質完全改變,亦即貫入試驗過程將因細料含量之增加而由排水狀況逐漸變爲不排水狀況,因此對高細料含量之砂土,其錐頭阻力不再適合用來評估不排水反復荷重作用下之液化阻抗。

決定土壤之細料含量,除採取試樣分析外,由 CPT 量測結果來估量亦是一種可行之方法,圖 6 爲根據 CPT 試驗結果研判土壤分類之圖表,於第 6 區通常是淨砂或含小量細料之沉泥質砂,若在第 5 區則爲沉泥質砂或砂質沉泥而其細料含量均大於 15%,隨著區數之減少而細料含量是逐漸增加。

Woeller根據CPT之現場試驗資料 指出細料含量與CPT 試驗時超額孔隙 水壓消散50%之時間有良好關係存在 如圖7所示,該圖通常僅適用於消散 50%時間T<sub>50</sub>>50秒且細料含量大於40 %之情況下,當T<sub>50</sub>介於10秒與50秒時 ,則因錐頭之貫入過程是屬於部份排 水之狀況,細料含量與T<sub>50</sub>之間將不再 有良好關係存在。

前面所述細料含量之修正僅涉及 錐頭阻力之修正量 $\triangle$ q<sub>cl</sub>,分析時仍然 使用淨砂土情況之反復應力比與錐頭 阻力間之關係圖。 Seed根據現地土壤 反應情形,建議一組不同細料含量之  $\tau_w/\sigma_o$ ,與 $q_{cl}$ 之關係圖如圖 8 所示。 日本學者 Shibata 等研究細料含量之影 響時,是依土壤不同之顆粒平均粒徑 而建議一組關係曲線如圖 9 ,以供分 析土壤之液化潛能,圖内 $(q_{cl})_o$ 爲錐頭 阻力  $q_c$ 經有效覆土壓力及顆粒平均粒 徑正規化之數值。

$$(q_{c1})_{\sigma} = C_1 \cdot C_2 \cdot q_c$$

式中

C1: 因有效覆土壓力之修正係數,

$$C_1 = \frac{1.7}{\sigma_{\bullet} + 0.7}$$

σ。': 垂直有效應力

 $C_2$  : 平均粒徑修正係數, $C_2 = \frac{D_{50}}{0.25}$ 

### 三、根據剪力波速研判土壤液 化潛能

針對一定強度(Intersity)及延期 (Duration)之震動欲給剪力波速一 界限值以判別某地區是否液化,通常 須根據現地之量測資料,到目前爲止 ,雖然有關之量測數據仍然十分有限 ,但很多事實均清楚顯示剪力波速能 作爲研判液化潛能之有效指數。

Robertson根據加州Imperial Valley地區之現地資料,曾建議剪力波速之界限值爲140m/sec以判別液化及非液化區,剪力波速是孔隙比(Void ratio)與有效圍壓之函數,對某一定孔隙比之砂土(即固定密度),其剪力波速將隨深度而增加,因之欲訂出剪力波速將隨深度而增加,因之欲訂出剪力波速將一大大學的大學,其對力波速須先經有效覆土壓力正規化後再進行相關性分析。Hardin及Drnevich曾明白指出剪力波速爲有效覆土壓力之函數,通常正規化之剪力波速可以下式求取。

$$V_{si} = V_s \left( \frac{1}{\sigma_s} \right)^{0.25}$$

V<sub>s</sub> :剪力波速

式中 V<sub>S1</sub> :正规化剪力波速

σ。':有效覆土壓力

圖10爲Robertson所建議用以研判土壤 液化潛能之正規化剪力波速與臨界應 力比之關係圖, Robertson研究發現細 料含量對正規化剪力波速與臨界應力 比 CSR 僅有些微影響,甚至無影響, 此點爲以剪力波速來分析液化潛能較 以 SPT-N 值或錐頭阻力 q. 來分析爲佳 之處。

#### 四、結論

震測錐貫入試驗由於具有三大特點(1)快速、經濟、有試驗標準規範及無人爲誤差之優點(2)可根據試驗結果之錐頭阻力來研判土壤液化潛能,若再加上共它試驗結果如摩擦阻力、孔際水壓等亦能研判土壤之所屬種類及細料含量情形,因此可使液化潛能之研判分析能快速、方便及正確之進行(3)亦能根據不受細料影響之剪力波速來輔助分析土壤液化潛能,使液化潛能分析工作能達到較正確之境界。

使用震測錐試驗結果評估土壤液 化潛能, 亦應了解該方法基本上有二 個小缺點(1)因爲錐頭阻力不僅受細料 含量之影響, 同時亦爲土壤顆粒組織 (Fabric) 及其礦物成份 (Mineralogy )之函數,因此進行含細料土壤之液 化潛能分析, 若使用僅考處細料会量 影響之相關圖形來分析,其結果與實 際情形可能存有某些差異, 但就工程 應用而言, 本文所敘述土壤液化潛能 分析方法仍有其一定之價值。(2)土壤 液化時產生之應變量雖然於分析時亦 能求得, 但通常那僅是一種粗略概估 ,若欲精確了解變形量之大小,則須 採取土樣進行室内試驗先求取土壤之 殘餘強度(Residual strength)然後再 進行精確之變形量分析。

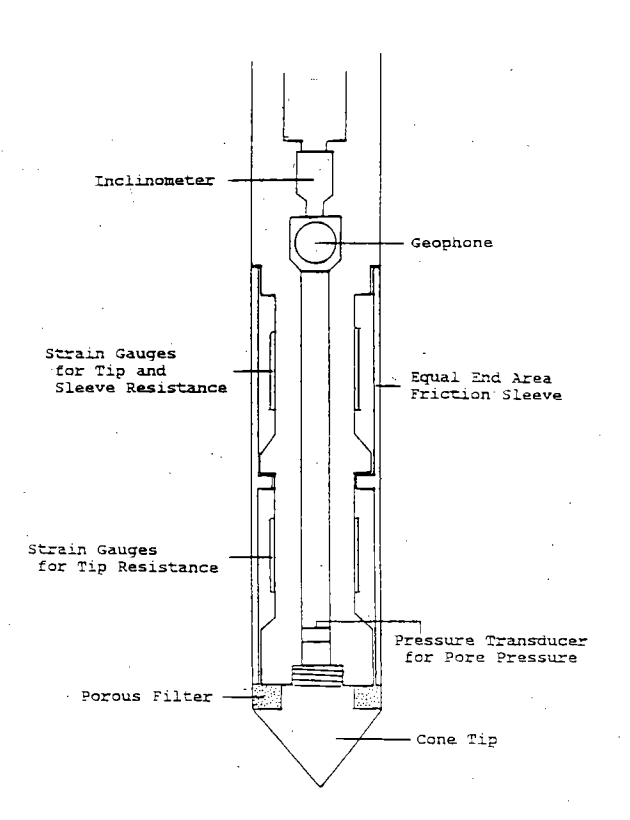


圖1 震測錐結構示意圖

CORRELATION FOR "CLEAN SANDS"

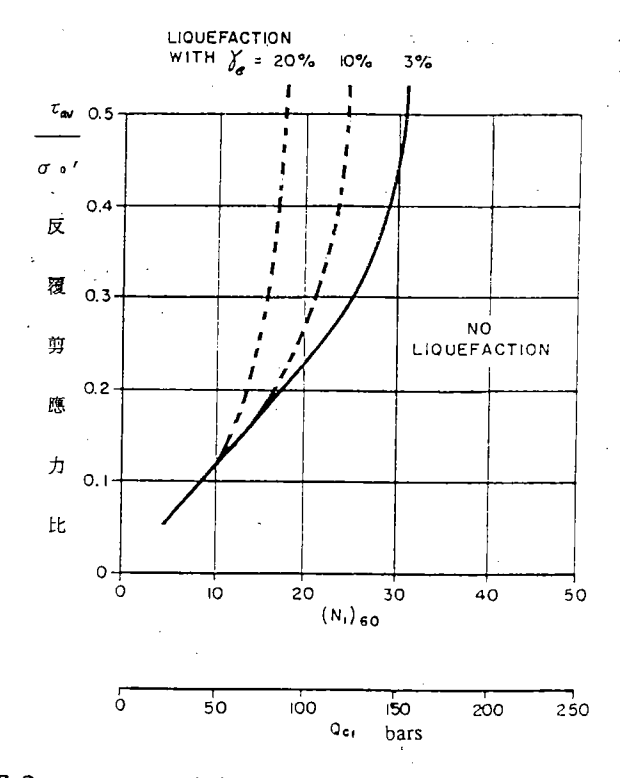


圖 2 以SPT-N值或錐頭阻力Q。評估淨砂土之液化潛能 -41-

# BASED ON ENERGY RATIO OF 60% ( N $_{60}$ )

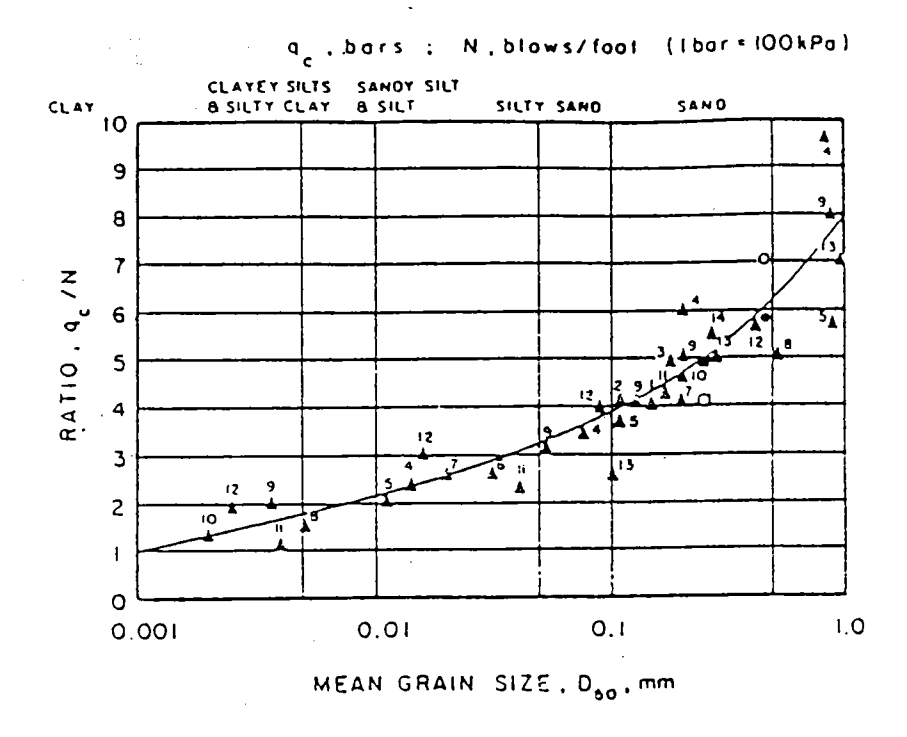


圖 3 q./N隨顆粒平均粒徑變化圖

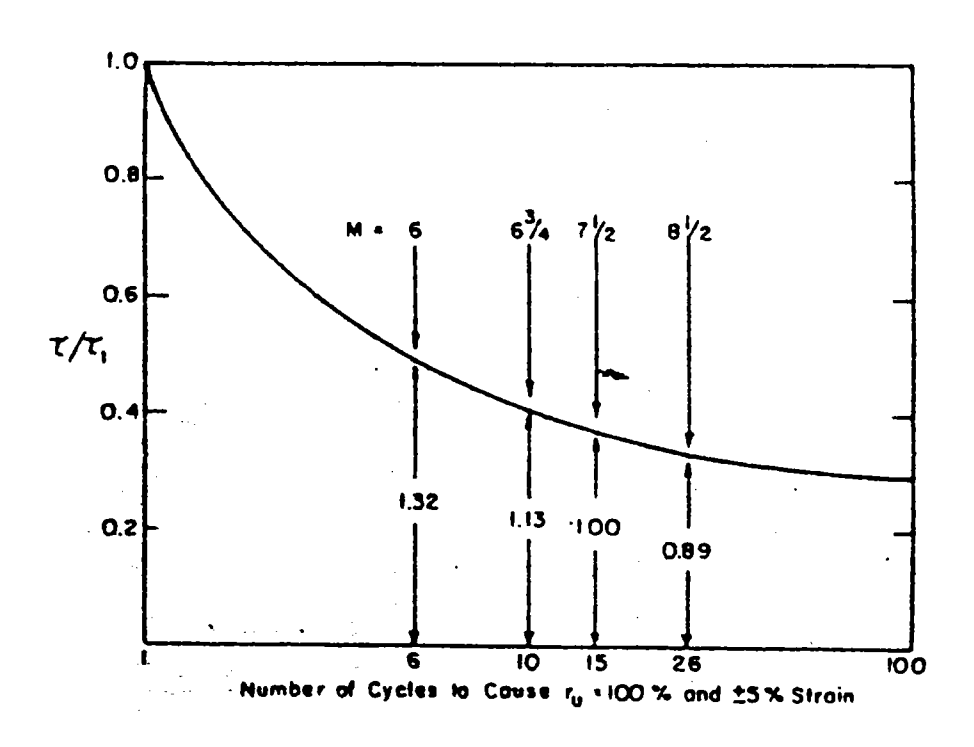
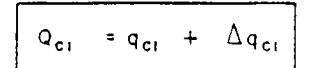


圖 4 各種地震規模產生液化時應力比值與作用次數之關係



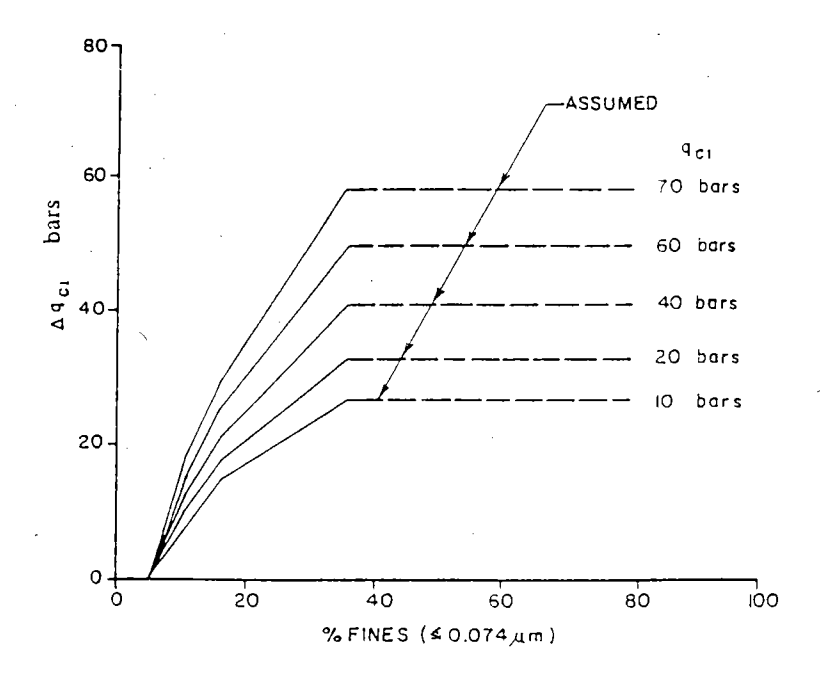
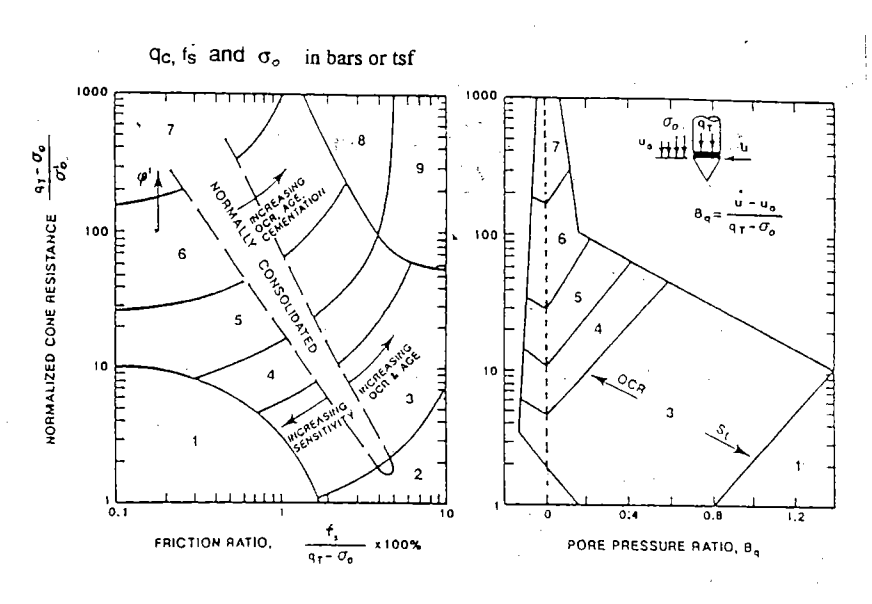


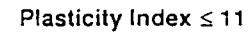
圖 5 不同細料含量之錐頭阻力修正量



- I. SENSITIVE FINE GRAINED
- 2. ORGANIC SOILS PEATS
- 3. CLAYS CLAY TO SILTY CLAY
- 4. SILT MIXTURES CLAYEY SILT TO SILTY CLAY
- 5. SAND MIXTURES SILTY SAND TO SANDY SILT
- 6. SANOS CLEAN SAND TO SILTY SAND
- 7. GRAVELLY SAND TO SAND
- 8. VERY STIFF SAND TO CLAYEY\*
  SAND
- 9. VERY STIFF FINE GRAINED\*

(\*) HEAVILY OVERCONSOLIDATED OR CEMENTED

圖 6 依CPT試驗結果之土壤分類圖



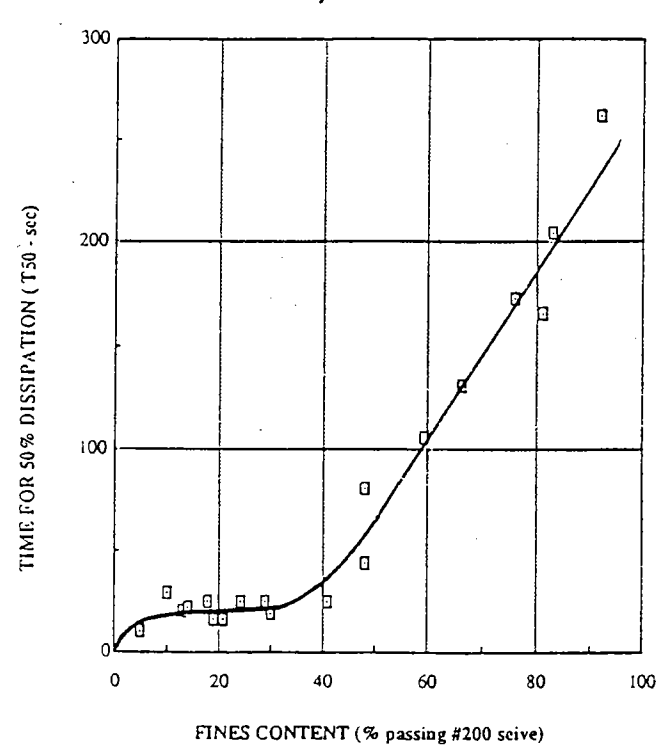


圖7 細料含量與50%消散時間關係圖

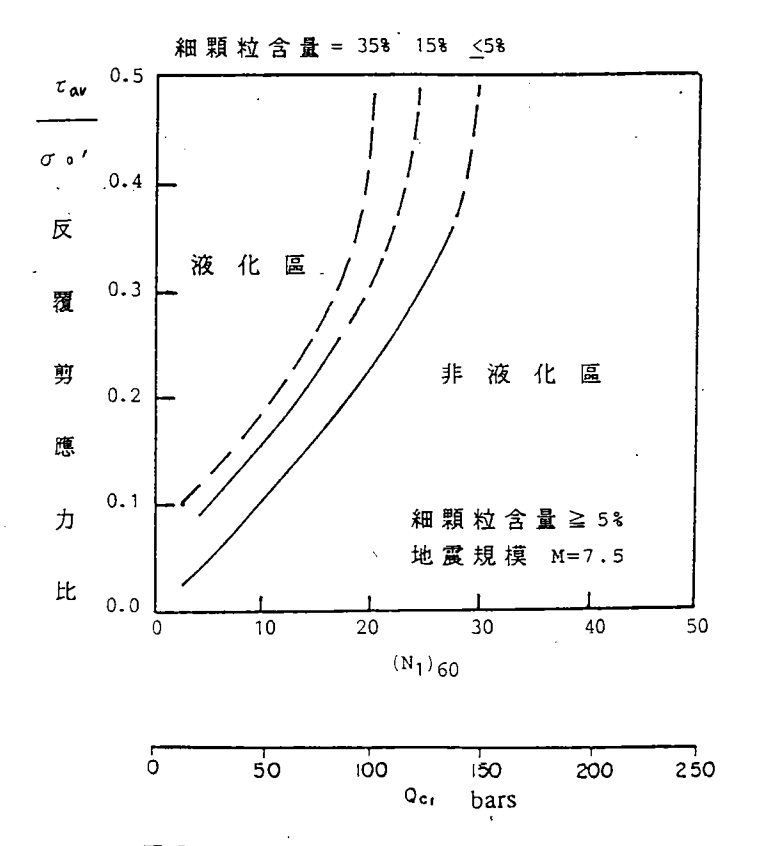


圖 8 不同細料含量情況之液化潛能評估

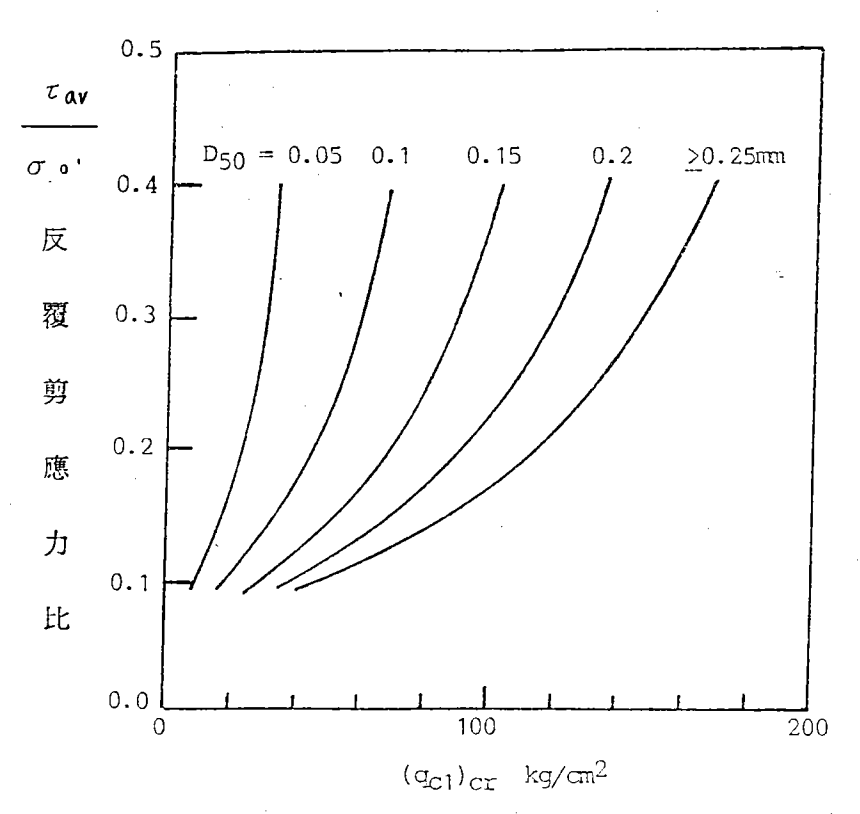


圖 9 不同土壤顆粒平均粒徑之液化潛能評估

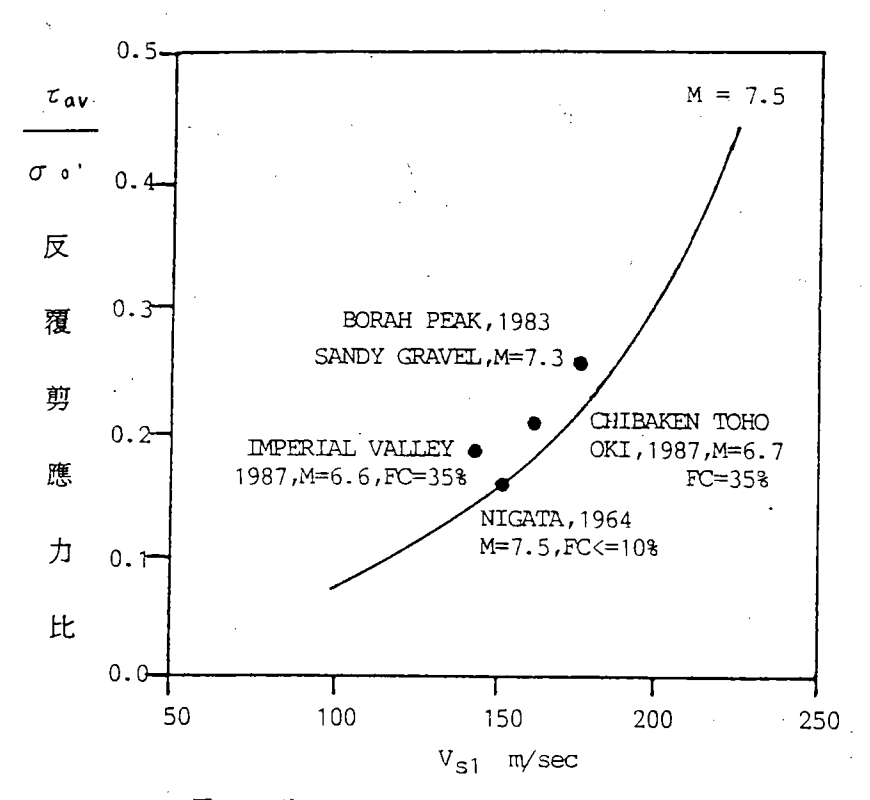


圖10 剪力波速與臨界反復剪應力關係圖

# 海岸工程短期研習會 (問題與對策) 所介

## 暂哲茂 港研所副研究員

本所八十二年度海岸工程短期研習會於本(82)年3月23日至25日在本所舉行,爲期四天。全省各相關單位人員到來參加人數達七十人,反應相當熱烈。此次研討會主題係針對國內目前工程上普遍遭遇到之問題進行探討並提出因應對策,頗具參考價值。茲將研討主題簡單介紹如下:

- 一、『臺灣各港口問題探討』—港研 所所長張金機
  - 探討蘇澳、花蓮兩港在巨大風浪 侵襲時港池不穩靜,造成船舶無 法碇靠,甚至斷纜之水理機制, 提出解決構想。
  - 2.介紹台中、花蓮兩港港灣建港對 鄰近海岸沖擊。
  - 3. 檢討規劃中之港灣建設計畫。
- 二、『臺灣沿海地區超抽地下水引致 地層下陷問題之探討』一港研所 大地工程組組長李豐博、副研究 員賴聖耀

首先説明超抽地下水與一般荷重 引致土層下陷行為之異同處,然 後介紹如何以ROWE CELL壓密 試驗及 CPTU 消散試驗推求土壤 之沉陷特性,最後探討雲嘉、屏 東地區地下水位變化與地層下陷 之關係。

本所八十二年度海岸工程短期研 三、『海岸保護對策一人工養灘之規 於本(82)年3月23日至25日在本所 劃及設計』一港研所海岸工程組 , 爲期四天。全省各相關單位人 組長黃清和

比較人工養灘與其它防蝕—如構築海堤、護岸、突堤群以及離岸處注意事項。同時對人工養灘規劃時應注意事項。同時對人工養灘之設計準則,依所需設計資料、養灘型式、橫斷面、(包括養灘型式、橫斷面、(包括養灘型式、坡降以及空間條件等項等,與及挖掘區應考慮之事項等作一簡介。同時探討補注沙海底質所不佳時應如何改善以及養灘之執行方法與步驟。

- 四、「潮汐特性及預報模式使用介紹 」一港研所研究員蘇青和
  - 介绍天文潮之物理特性、調和分析原理、預報模式使用
  - 2.學員現場電腦操作實習。
- 五、『海洋環境下工程材料耐久性之 探討』一港研所港工材料組組長 陳桂清、副研究員饒正 海洋環境下結構物易受鹽害侵襲 ,造成材料腐蝕劣化,致使結構 物失去其耐久性。本文以港灣結 構物調查之實例,介紹各項檢測 技術、腐蝕原理以及防蝕措施等

- 六、『海岸重大工程開發相關問題之調查』一成大水工所所長黃煌輝介紹重大海域工程施工前各項背景資料建立、調查研究之重要性及與工程社會成本之相關性。再者, 說明各項調查研究項目、方法、範圍、步驟及分析相關特性。最後則討論台灣四周海域工程開發之觀念。
- 七『臺灣海岸地區環境資源保育問題 之探討』—臺大地理研究所教授 張長義

探討臺灣海岸地區因未作好國土 規劃,以致河川及近岸水域的污 染無法有效防制,海岸工程建設 規劃未能因地制宜,造成海岸侵 蝕及國土流失,進而影響海岸生 態平衡;加以人民守法觀念和自 然保育知識不足,促使臺灣海岸 的環境品質日益惡化所造成的各 種環境問題。

八、『海灘地形變化數值模式分析』一臺大造船及海洋研究所教授林銘崇

說明海岸地形變遷數值模擬之基 本概念及其各種數值模式,並比 較各模式之優缺點,其次扼要説 明進行海岸地形變遷數值模擬之 流程,並舉應用實例。